



ใบรับรองวิทยานิพนธ์
บัณฑิตวิทยาลัย มหาวิทยาลัยเกษตรศาสตร์

วิศวกรรมศาสตรมหาบัณฑิต (วิศวกรรมไฟฟ้า)

ปริญญา

วิศวกรรมไฟฟ้า

วิศวกรรมไฟฟ้า

สาขาวิชา

ภาควิชา

เรื่อง การศึกษาผลของสเปกตรัมแสงต่อสมรรถภาพของเซลล์แสงอาทิตย์ที่ติดตั้งภายนอกอาคาร

Effect of Spectral Irradiance Distribution on the Outdoor Performance of Photovoltaic
Modules

นามผู้วิจัย นายนิธินันทน์ พูลชนะนันท์
ได้พิจารณาเห็นชอบโดย
อาจารย์ที่ปรึกษาวิทยานิพนธ์หลัก

(ผู้ช่วยศาสตราจารย์ปฐมภรณ์ ศรีพุ่งธรรม, Ph.D.)

อาจารย์ที่ปรึกษาวิทยานิพนธ์ร่วม

(อาจารย์อมรรัตน์ ลิ้มมณี, Ph.D.)

หัวหน้าภาควิชา

(รองศาสตราจารย์มังคล รักษพัชรวงศ์, Ph.D.)

บัณฑิตวิทยาลัย มหาวิทยาลัยเกษตรศาสตร์รับรองแล้ว

(รองศาสตราจารย์กัญจนा ชีระกุล, D.Agr.)

คณบดีบัณฑิตวิทยาลัย

วันที่..... เดือน..... พ.ศ.

สิงคโปร์ มหาวิทยาลัยเกษตรศาสตร์

วิทยานิพนธ์

เรื่อง

การศึกษาผลของสเปกตรัมแสงต่อสมรรถภาพของเซลล์แสงอาทิตย์ที่ติดตั้งภายนอกอาคาร

Effect of Spectral Irradiance Distribution on the Outdoor Performance of Photovoltaic Modules

โดย

นายนิธินันท์ พูลชนะนันท์

เสนอ

บัณฑิตวิทยาลัย มหาวิทยาลัยเกษตรศาสตร์

เพื่อความสมบูรณ์แห่งปริญญาวิศวกรรมศาสตร์มหาบัณฑิต (วิศวกรรมไฟฟ้า)

พ.ศ. 2553

สิงห์ นิตาวิทยาลัยเกษตรศาสตร์

นิชินันทน์ พูลชนะนันท์ 2553: การศึกษาผลของสเปกตรัมแสงต่อสมรรถภาพของเซลล์แสงอาทิตย์ที่ติดตั้งภายนอกอาคาร ปริญญาวิศวกรรมศาสตรมหาบัณฑิต (วิศวกรรมไฟฟ้า) สาขาวิศวกรรมไฟฟ้า ภาควิชาวิศวกรรมไฟฟ้า อาจารย์ที่ปรึกษา วิทยานิพนธ์หลัก: ผู้ช่วยศาสตราจารย์ปัจมานากรณ์ ศรีพุดงธรรม, Ph.D. 58 หน้า

การใช้งานเซลล์แสงอาทิตย์ที่ติดตั้งภายนอกอาคารมีปัจจัยแวดล้อมที่ส่งผลกระทบกับสมรรถภาพของเซลล์แสงอาทิตย์ นอกเหนือจากอุณหภูมิและความชื้นแสง สเปกตรัมแสงก็เป็นปัจจัยที่สำคัญหนึ่งที่ส่งผลกระทบกับสมรรถภาพของเซลล์แสงอาทิตย์ เช่นกัน

วิทยานิพนธ์นี้นำเสนอผลผลกระทบจากสเปกตรัมแสงที่ส่งผลกระทบกับสมรรถภาพของเซลล์แสงอาทิตย์ โดยหาค่าพลังงานโฟตอนเฉลี่ย (Average photon energy: APE) ในช่วงความยาวคลื่นแสงที่ 350 – 1050 nm เพื่อวัดอัตราการกระจายและการเปลี่ยนแปลงของสเปกตรัมแสงในแต่ละเดือนหรือฤดูกาล การเปรียบเทียบค่า APE กับสมรรถภาพ (PR) ของเซลล์แสงอาทิตย์แต่ละชนิดทำให้ทราบว่าเซลล์แสงอาทิตย์แบบ thin-film amorphous Silicon (a-Si) ได้รับผลกระทบสูงโดยเมื่อค่า APE เพิ่มขึ้นจะส่งผลให้ค่า PR ของแผงดีขึ้นจนถึงค่า APE เป็น 1.94 eV ล้วนแบบ poly crystalline Silicon (poly c-Si) ได้รับผลกระทบจากการเปลี่ยนแปลงของค่า APE คือค่า PR เปลี่ยนแปลงเพียงเล็กน้อยไม่เกิน 5% การวิเคราะห์สมรรถภาพในแต่ละฤดูกาลพบว่าเซลล์แสงอาทิตย์แบบ thin film a-Si มีค่า PR ต่ำสุดในช่วงฤดูหนาวคือ 95% ซึ่งสอดคล้องกับค่า APE ที่ต่ำที่สุดในช่วงฤดูหนาว จากผลการวิจัยเมื่อทราบค่า APE เฉลี่ยของประเทศไทยคือ 1.91 eV ทำให้สามารถเลือกใช้เซลล์แสงอาทิตย์แบบ thin film a-Si ที่เหมาะสม เมื่อวิเคราะห์ค่า APE เฉลี่ยในแต่ละเดือนหรือฤดูกาลทำให้สามารถประมาณค่าพลังงานของเซลล์แสงอาทิตย์ได้แม่นยำมากขึ้น

Nitinan Pooltananan 2010: Effect of Spectral Irradiance Distribution on the Outdoor Performance of Photovoltaic Modules. Master of Engineering (Electrical Engineering), Major Field: Electrical Engineering, Department of Electrical Engineering. Thesis Advisor: Assistant Professor Patamaporn Sripadungtham, Ph.D. 58 pages.

The outdoor performance of photovoltaic (PV) modules is affected by several environmental conditions. Spectral irradiance is one of the important factors that should be investigated.

This thesis presented the effect of spectral irradiance by using average photon energy (APE) to declare spectral irradiance distribution. Relationship between the performance ratio (PR) and the APE were shown. The results indicated that thin-film amorphous silicon (a-Si) PV module was significantly affected by the APE. The increasing of APE enhanced the outdoor performance of the thin film a-Si PV module until the value of the APE reached 1.94 eV, while the polycrystalline silicon (poly c-Si) PV module was found to be less sensitive to the change in the APE since it showed a small change in the PR of 5%. The PR of the thin film a-Si PV module in winter decreased to the minimum value of 95%, consistent with the lowest APE in this season. The average APE in Thailand was found to be approximately 1.91 eV. This is informative data for selecting the PV module which is suitable for Thailand, and it is also beneficial information for improving thin film a-Si in PV module fabrication. Moreover, the monthly APE obtained from this study is a useful factor for accurate estimation of output power of PV modules.

Student's signature

Thesis Advisor's signature

กิตติกรรมประกาศ

ข้าพเจ้าขอขอบพระคุณ ผู้ช่วยศาสตราจารย์ ดร.ปฐมภรณ์ ศรีพงษ์ธรรม อาจารย์ที่ปรึกษา วิทยานิพนธ์หลัก และดร. ออมรัตน์ ลิ่มนันท์ ที่ได้ช่วยเหลือในการวางแผนงานวิจัยในวิทยานิพนธ์ ฉบับนี้ และตรวจแก้ไขข้อบกพร่องในวิทยานิพนธ์ให้สำเร็จลุล่วงไปได้ด้วยดี คุณเอกชาติ หัตถा ที่ได้ให้คำปรึกษาแนะนำในการทำงานวิจัย

ข้าพเจ้าขอขอบคุณสถานบันพัฒนาเทคโนโลยีพลังงานแสงอาทิตย์ (SOLARTEC) เป็นอย่างสูงสำหรับการสนับสนุนข้อมูลและคำปรึกษาในการทำวิจัย

ข้าพเจ้าขอขอบพระคุณพ่อและแม่ ตลอดจนเพื่อนๆทุกคน ที่ให้การสนับสนุน และให้กำลังใจในการทำวิทยานิพนธ์ฉบับนี้จนสำเร็จลุล่วงไปได้ด้วยดี หากวิทยานิพนธ์ฉบับนี้มีข้อบกพร่องประการใด ข้าพเจ้ายินดีรับข้อเสนอแนะ และขออภัยมา ณ ที่นี้ด้วย

นิธินันทน์ พุฒนะนันท์
เมษายน 2553

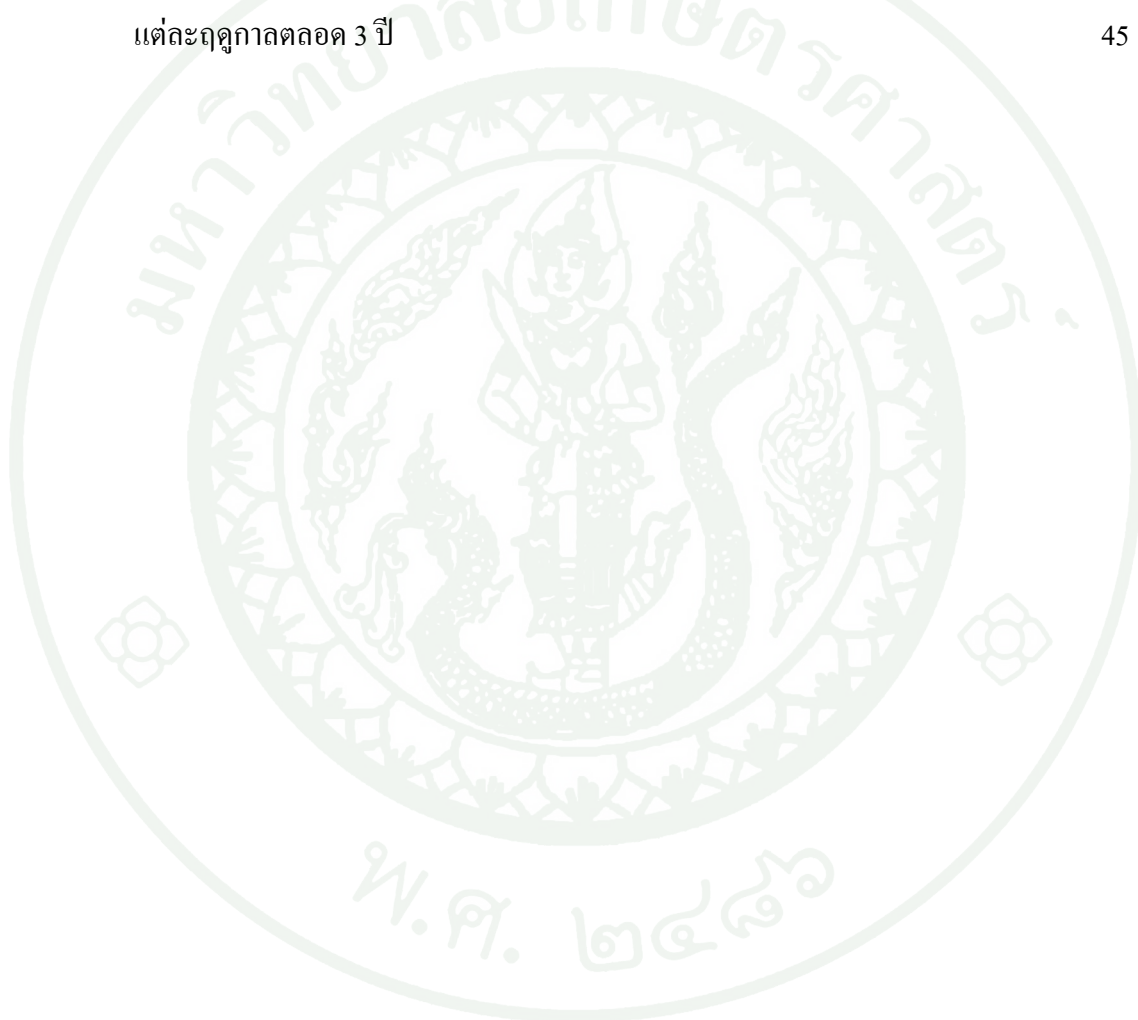
สารบัญ

หน้า

สารบัญ	(1)
สารบัญตาราง	(2)
สารบัญภาพ	(3)
คำนำ	1
วัตถุประสงค์	2
การตรวจเอกสาร	3
อุปกรณ์และวิธีการ	26
อุปกรณ์	26
วิธีการ	26
ผลและวิจารณ์	42
ผล	42
วิจารณ์	49
สรุปและข้อเสนอแนะ	50
สรุป	50
ข้อเสนอแนะ	51
เอกสารอ้างอิง	52
ภาคผนวก	54
ประวัติการศึกษาและการทำงาน	58

สารบัญตาราง

ตารางที่	หน้า
1 ตารางเบริขบเที่ยบค่า PR ของเซลล์แสงอาทิตย์แต่ละชนิดที่ส่วนราชการ STC และ MFC	21
2 ตารางค่า APE ที่มีความเข้มแสลงสมและความถี่ในการเกิดมากที่สุด แต่ละฤดูกาลตลอด 3 ปี	45



สารบัญภาพ

ภาพที่	หน้า
1 พลังงานแสงอาทิตย์ที่ผ่านชั้นบรรยายกาศ	4
2 มุมต่างๆที่ใช้บอกร่องรอยพิกัดห้องไฟ	5
3 ตำแหน่งของดวงอาทิตย์ตามฤดูกาลต่างๆ	6
4 ค่า AM ที่แบ่งตามตำแหน่งของดวงอาทิตย์	7
5 เปรียบเทียบสเปกตรัมของแสงระหว่างค่า AM 0 และ AM 1.5	8
6 แสดงการทำงานของเซลล์แสงอาทิตย์	9
7 กราฟ IV Curve ของเซลล์แสงอาทิตย์	11
8 การเปรียบเทียบประสิทธิภาพของเซลล์ชนิดผลึกซิลิคอนและ thin film a-Si	13
9 การตอบสนองต่อสเปกตรัมแสงต่อเซลล์แสงอาทิตย์ที่ประกอบด้วยสารซิลิคอน	14
10 กราฟสเปกตรัมแสงที่ AM 1.5 ตามมาตรฐาน IEC 60907-3, 2008	16
11 กราฟแท่งความสัมพันธ์ระหว่างความเข้มแสงสะท้อนกับ APE เมือง Kusatsu	17
12 แผนภูมิคอนทัวร์ของ PR เซลล์แสงอาทิตย์ชนิด sc-Si ในรูปแบบ ความสัมพันธ์ของอุณหภูมิแพงเซลล์แสงอาทิตย์กับ APE	18
13 แผนภูมิคอนทัวร์ของ PR เซลล์แสงอาทิตย์ชนิด poly c-Si ในรูปแบบ ความสัมพันธ์ของอุณหภูมิแพงเซลล์แสงอาทิตย์กับ APE	18
14 แผนภูมิคอนทัวร์ของ PR เซลล์แสงอาทิตย์ชนิด thin film a-Si ในรูปแบบ ความสัมพันธ์ของอุณหภูมิแพงเซลล์แสงอาทิตย์กับ APE	19
15 แผนภูมิคอนทัวร์ของ PR เซลล์แสงอาทิตย์ชนิด a-Si/ μ c-Si ในรูปแบบความสัมพันธ์ของอุณหภูมิแพงเซลล์แสงอาทิตย์กับ APE	19
16 แผนภูมิคอนทัวร์ของ PR เซลล์แสงอาทิตย์ชนิด 3 ชั้นคือ a-Si/a-SiGe/a-SiGe ในรูปแบบความสัมพันธ์ของอุณหภูมิแพงเซลล์แสงอาทิตย์กับ APE	20
17 แผนภูมิคอนทัวร์ของ PR เซลล์แสงอาทิตย์ชนิด sc-Si ในรูปแบบ ความสัมพันธ์ของอุณหภูมิแพงเซลล์แสงอาทิตย์กับ APE	22
18 แผนภูมิคอนทัวร์ของ PR เซลล์แสงอาทิตย์ thin film a-Si ในรูปแบบ ความสัมพันธ์ของอุณหภูมิแพงเซลล์แสงอาทิตย์กับ APE	23

สารบัญภาพ (ต่อ)

ภาพที่	หน้า
19 แผนภูมิคอนทัวร์ความสัมพันธ์ PR กับ APE และอุณหภูมิแพงเซลล์ ของเซลล์แสงอาทิตย์ชนิด a-Si ในช่วงฤดูใบไม้ผลิ	24
20 แผนภูมิคอนทัวร์ความสัมพันธ์ PR กับ APE และอุณหภูมิแพงเซลล์ ของเซลล์แสงอาทิตย์ชนิด a-Si ในช่วงฤดูใบไม้ร่วง	24
21 แผนภูมิคอนทัวร์ความสัมพันธ์ PR กับ APE และอุณหภูมิแพงเซลล์ ของเซลล์แสงอาทิตย์ชนิด a-Si เปรียบเทียบกันระหว่าง ฤดูใบไม้ผลิและใบไม้ร่วง โดยฤดูใบไม้ผลิเป็นฐาน	25
22 แพงเซลล์แสงอาทิตย์และอุปกรณ์ที่ใช้วัดค่าภายในอกอาคาร	27
23 ตำแหน่งการติดตั้งสายเทอร์โนคัฟเปลวเรนด้านหลังแพงเซลล์แสงอาทิตย์	27
24 ศักยภาพคุณภาพในประกอบด้วยอุปกรณ์ควบคุมในการวัดและบันทึกผลคัวคูณพิวเตอร์	28
25 ตัวอย่างข้อมูลทางอุตุนิยมวิทยา	30
26 ตัวอย่างข้อมูล IV-Curve	30
27 ตัวอย่างข้อมูลสภาพรัมแสง	31
28 เมนูการทำงานของโปรแกรม MS-712	32
29 รายการที่โปรแกรมได้ทำการ import เข้ามาของโปรแกรม MS-712	32
30 กราฟจากฟังก์ชัน 3D ของโปรแกรม MS-712	33
31 เมนูฟังก์ชัน export ของโปรแกรม MS-712	33
32 ข้อมูลที่ได้ทำการ export จากโปรแกรม MS-712	34
33 ผลการ transpose ข้อมูล	35
34 ข้อมูลจากสถาบัน SOLARTEC ฐานข้อมูล 2 ส่วนคือ อุตุนิยมวิทยาและข้อมูล IV	37
35 การสร้าง relation ในแต่ละ table โดยการเชื่อมในส่วนของวันที่และเวลา	37
36 การสร้างเงื่อนไข Query เพื่อกรองข้อมูลจาก channel 2	38
37 ตัวอย่างข้อมูลที่ทำการกรองด้วย Query	38
38 การกรองและการเฉลี่ยข้อมูลสภาพรัมด้วยฟังก์ชัน Query Wizard	39
39 การเลือก summary ข้อมูล APE แบบ Avg	40

สารบัญภาพ (ต่อ)

ภาพที่	หน้า
40 การเลือก summary ข้อมูล APE ให้เป็นแบบรายวัน	40
41 Query ของสเปกตรัมแสงที่มีค่าเฉลี่ย APE แบบรายวัน	41
42 ค่า APE รายวันในช่วงปีพ.ศ.2549-2551	42
43 ความสัมพันธ์ระหว่างความเข้มแสงสะท้อนและความถี่ในการเกิดกับค่า APE	43
44 ความสัมพันธ์ระหว่างความเข้มแสงสะท้อนและความถี่ในการเกิดกับค่า APE ช่วงฤดูร้อน	44
45 ความสัมพันธ์ระหว่างความเข้มแสงสะท้อนและความถี่ในการเกิดกับค่า APE ช่วงฤดูฝน	44
46 ความสัมพันธ์ระหว่างความเข้มแสงสะท้อนและความถี่ในการเกิดกับค่า APE ช่วงฤดูหนาว	45
47 การเปลี่ยนแปลงค่า PR ของเซลล์แสงอาทิตย์ชนิด a-Si และ poly c-Si ในแต่ละเดือน	46
48 ความสัมพันธ์ระหว่างค่า APE กับค่า PR ของเซลล์แสงอาทิตย์แบบ thin film a-Si	47
49 ความสัมพันธ์ระหว่างค่า APE กับค่า PR ของเซลล์แสงอาทิตย์แบบ poly c-Si	47
50 ช่วงการตอบสนองต่อสเปกตรัมแสงของเซลล์แสงอาทิตย์แบบ thin film a-Si	48
51 ช่วงการตอบสนองต่อสเปกตรัมแสงของเซลล์แสงอาทิตย์แบบ poly c-Si	48

ภาพผนวกที่

1 เครื่อง IV Checker MP-160, an I-V curve tracer to measure PV modules วัดประสิทธิภาพของแผงเซลล์แสงอาทิตย์ใช้ร่วมกับเครื่อง MI-520 เพื่อรวมรวมค่าจากเครื่อง MI-520	55
2 MI-520, 12ch PV module switcher (3 เครื่อง) ใช้วัดประสิทธิภาพของแผงเซลล์ แสงอาทิตย์ใช้ร่วมกับเครื่อง MP-160 เพื่อสำหรับการวัดแผงเซลล์จำนวนมาก	55
3 MS-701, เครื่องวัดการแผ่รังสีของสเปกตรัมที่มองเห็นด้วยตาเปล่า	55
4 MS-802-E, whole sky solar insolation meter ใช้สำหรับวัดความเข้มแสงอาทิตย์	56

สารบัญภาพ (ต่อ)

ภาพพนวกที่	หน้า
5 PO-070, ฐานสำหรับเครื่องวัดการแพร่รังสี ใช้เป็นฐานยึดสำหรับติดตั้งเครื่องมือวัดความเข้มแสงอาทิตย์	56
6 CADAC21 9201A, data logger ใช้วับสัญญาณจากอุปกรณ์วัดแสงเซลล์แสงอาทิตย์และแปลงสัญญาณที่ได้โดยทำการบันทึกค่าเก็บไว้	56
7 CADAC21-20ch adapter ใช้สแกนสัญญาณที่ได้จากเครื่อง Data Logger ซึ่งมีช่องสัญญาโนอยู่ 20 ช่อง	57
8 ตู้เก็บอุปกรณ์ควบคุม	57

การศึกษาผลของスペクトรัมแสงต่อสมรรถภาพของเซลล์แสงอาทิตย์ ที่ติดตั้งภายนอกอาคาร

Effect of Spectral Irradiance Distribution on the Outdoor Performance of Photovoltaic Modules

คำนำ

พลังงานแสงอาทิตย์เป็นหนึ่งในพลังงานหมุนเวียน (Renewable energy) สามารถประยุกต์ใช้งานได้ทั้งแบบเซลล์แสงอาทิตย์ (Photovoltaic) ที่สามารถผลิตกระแสไฟฟ้าและการประยุกต์ใช้ด้านความร้อน (Thermal) ปัจจุบันการใช้งานเซลล์แสงอาทิตย์กำลังเป็นที่แพร่หลายเพิ่มขึ้นเนื่องจากต้นทุนการผลิตที่ลดลงและประสิทธิภาพของเซลล์แสงอาทิตย์ที่เพิ่มขึ้น เพื่อใช้งานเซลล์แสงอาทิตย์ให้มีประสิทธิภาพมากยิ่งขึ้นนั้นต้องมีการศึกษาปัจจัยที่ส่งผลต่อการผลิตไฟฟ้าของเซลล์แสงอาทิตย์

การทดสอบประสิทธิภาพของเซลล์แสงอาทิตย์ในปัจจุบันใช้ผลการทดสอบจากห้องทดลองโดยกำหนดสภาพตามมาตรฐานสากล Standard test condition (STC) มีรายละเอียดคือ ความเข้มแสง 1000 วัตต์ต่อตารางเมตร อุณหภูมิแผงเซลล์ 25 องศาเซลเซียสและ Air mass (AM) ที่ 1.5 แต่ในการใช้งานจริงเมื่อติดตั้งภายนอกอาคารปัจจัยทางสภาพแวดล้อมที่ส่งผลกระทบประสิทธิภาพของเซลล์แสงอาทิตย์มีอยู่หลายปัจจัย ซึ่งหลายงานวิจัยมุ่งเน้นศึกษาในเรื่องผลของการเปลี่ยนแปลง อุณหภูมิ ทั้งนี้ยังมีอีกหนึ่งปัจจัยที่ควรศึกษาควบคู่ไปด้วยกันคือผลของการเปลี่ยนแปลงスペกตรัมแสงスペกตรัมแสงที่ถูกส่งมาซึ่งโลกมีการเปลี่ยนแปลงตามฤดูกาลและแตกต่างกันแต่ละภูมิภาค การศึกษาスペกตรัมแสงจะช่วยในการวิเคราะห์การทำงานของเซลล์แสงอาทิตย์ที่ตอบสนองในช่วงความยาวคลื่นแสงที่แตกต่างกันได้

วิทยานิพนธ์นี้วิเคราะห์ผลของスペกตรัมแสงในรูปของดัชนีพลังงานเฉลี่ยโฟตอน (Average photon energy) APE เพื่อนำมาศึกษาผลกระทบต่อเซลล์แสงอาทิตย์ ซึ่งเป็นข้อมูลที่มีประโยชน์ในการเลือกใช้งานเซลล์แสงอาทิตย์ที่เหมาะสมกับภูมิภาคนั้นได้

วัตถุประสงค์

วัตถุประสงค์ของ โครงการวิจัยนี้ คือ เพื่อศึกษาผลกระทบจากสเปกตรัมแสงต่อสมรรถภาพของเซลล์แสงอาทิตย์และศึกษาผลลัพธ์งานทดลองไฟฟotonในประเทศไทยโดยวิเคราะห์ค่า APE ในแต่ละเดือนหรือฤดูกาล ซึ่งปัจจุบันประเทศไทยยังไม่มีการนำปัจจัยนี้มาวิเคราะห์อย่างจริงจัง การนำเสนอตัวแปรนี้ให้เป็นส่วนหนึ่งที่สำคัญในการทดสอบสมรรถภาพเซลล์แสงอาทิตย์จึงเป็นสิ่งสำคัญ เพื่อการเลือกใช้งานและการผลิตเซลล์แสงอาทิตย์ที่เหมาะสมกับประเทศไทย และเปรียบเทียบผลกระทบของสเปกตรัมแสงต่อสมรรถภาพของเซลล์แสงอาทิตย์ชนิดผลึกโพลีซิลิคอนและชนิดฟลัมบางอะมอร์ฟสิลิคอน



การตรวจเอกสาร

กฤษฎีและแนวความคิด

พลังงานไฟฟ้าเป็นพลังงานรูปแบบหนึ่งที่มีความสำคัญกับชีวิตประจำวันมากที่สุด โดยการผลิตไฟฟ้าในปัจจุบันสามารถแบ่งแหล่งพลังงานที่ใช้ในการผลิตไฟฟ้าออกได้เป็นกลุ่มใหญ่ 2 กลุ่ม คือ ชนิดใช้แล้วหมดไปไม่สามารถทดแทนได้ เช่น น้ำมัน ถ่านหิน แก๊สธรรมชาติ และพลังงานนิวเคลียร์ อีกแบบคือพลังงานที่มีอยู่ในสิ่งแวดล้อมเมื่อนำมาใช้แล้วสามารถเกิดขึ้นใหม่ได้ เช่น พลังงานลม พลังงานน้ำ แก๊สชีวนวลด และพลังงานแสงอาทิตย์

1. พลังงานแสงอาทิตย์

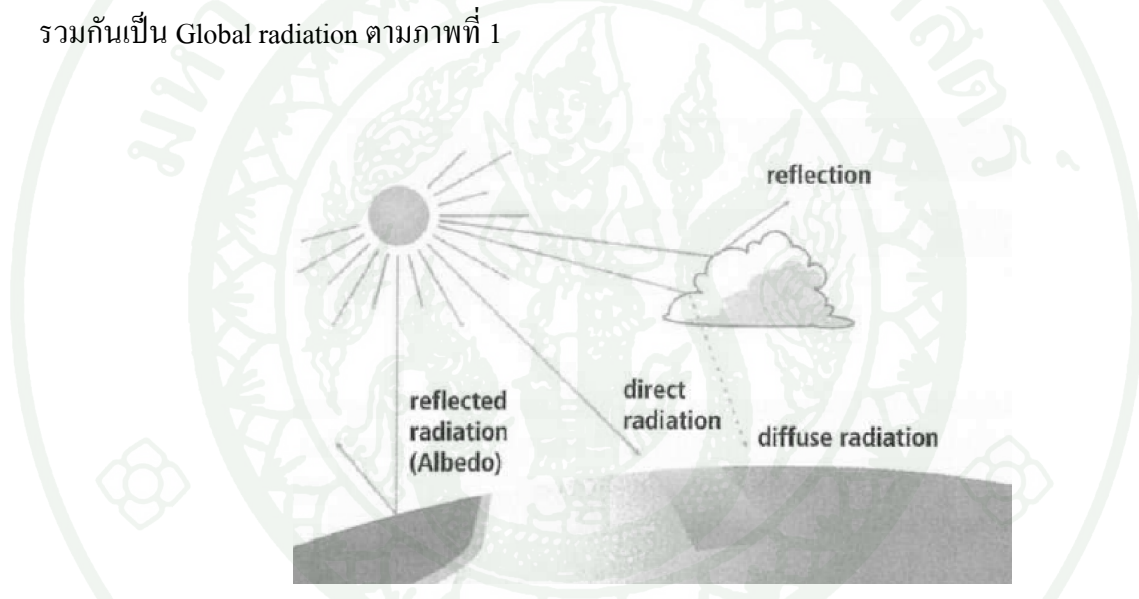
พลังงานแสงอาทิตย์ เป็นพลังงานทดแทนประเภทหมุนเวียนที่ใช้แล้วเกิดขึ้นใหม่ได้ตามธรรมชาติ เป็นพลังงานที่สะอาด ปราศจากมลพิษ และเป็นพลังงานที่มีศักยภาพสูง การใช้พลังงานแสงอาทิตย์สามารถจำกัดกอออกเป็น 2 รูปแบบคือ การใช้พลังงานแสงอาทิตย์เพื่อผลิตกระแสไฟฟ้า และการใช้พลังงานแสงอาทิตย์เพื่อผลิตความร้อน

เป็นที่ทราบกันดีว่าพลังงานของดวงอาทิตย์เกิดขึ้นจากปฏิกิริยาฟิวชัน (Fusion reaction) ระหว่าง ไฮโดรเจนและ氦เดียม (Adolf, 1998) พลังงานแสงอาทิตย์ที่แผ่มาข้างผิวโลกนอกชั้นบรรยากาศมีค่าเป็น $1,367 \text{ W/m}^2$ (Adolf, 1998) ซึ่งเรียกว่า Solar constant เมื่อพลังงานแสงอาทิตย์แผ่เข้ามายังชั้นบรรยากาศโลกจะถูกดูดซึม สะท้อนกลับ หรือทำให้กระจายออกโดยชาตุต่างๆ ตามชั้นบรรยากาศ เช่น โอโซน ไอโน้า คาร์บอนไดออกไซด์ หรือ ออกซิเจน ทำให้มีความเข้มแสงลดลงเมื่อมาถึงผิวโลกจากนั้นเมื่อตกรอบกับผิวโลกแล้วอาจมีการสะท้อนกับผิวได้กลับออกไปนอกโลกเช่นกัน

พลังงานแสงอาทิตย์จะแปรผันตามฤดูกาลในแต่ละรอบปีและพื้นที่ภูมิภาคต่างๆ โดยพื้นที่ที่ได้รับความเข้มแสงสูงจะอยู่บริเวณเส้นศูนย์สูตรเป็นส่วนใหญ่ ในบางพื้นที่บริเวณเส้นศูนย์สูตรได้รับความเข้มแสงสูงถึง $2,300 \text{ kWh/m}^2$ ต่อปี (German Solar Energy Society, 2008) และค่านี้จะลดลงตามเส้นละติจูดที่ห่างจากเส้นศูนย์สูตรทึ่งทิศเหนือและทิศใต้อよ่างเช่น ประเทศไทยและยุโรปตอนล่างจะได้รับความเข้มแสง $1,700 \text{ kWh/m}^2$ ต่อปี และยังเป็นประเทศในแถบทวีปยุโรป

ตอนล่างจะได้รับความเข้มแสงลดลงเหลือเพียง $1,040 \text{ kWh/m}^2$ ต่อปี (German Solar Energy Society, 2008)

พลังงานแสงอาทิตย์เมื่อผ่านชั้นบรรยากาศเข้ามาสู่พื้นผิวโลก สามารถนำมาใช้งานในการผลิตไฟฟ้าได้หลายรูปแบบด้วยกัน เช่น ใช้เซลล์แสงอาทิตย์ หรือใช้ต้มน้ำเพื่อหมุนเทอร์ไายน เป็นต้น เซลล์แสงอาทิตย์สามารถรับพลังงานแสงอาทิตย์ที่ผ่านชั้นบรรยากาศได้ 3 ทางด้วยกันคือ 1. รับแสงโดยตรงจากดวงอาทิตย์เรียกว่า Beam radiation หรือ Direct radiation 2. รับแสงโดยผ่านการกระจายจากไอน้ำ เมฆ หรือหมอก เรียกว่า Diffuse radiation และ 3. เซลล์แสงอาทิตย์รับแสงที่เกิดจากการสะท้อนจากผิวโลกเรียกว่า Albedo ซึ่งทั้งแสงที่ตกกระทบเซลล์แสงอาทิตย์ทั้ง 3 ชนิดนี้เรียกรวมกันเป็น Global radiation ตามภาพที่ 1



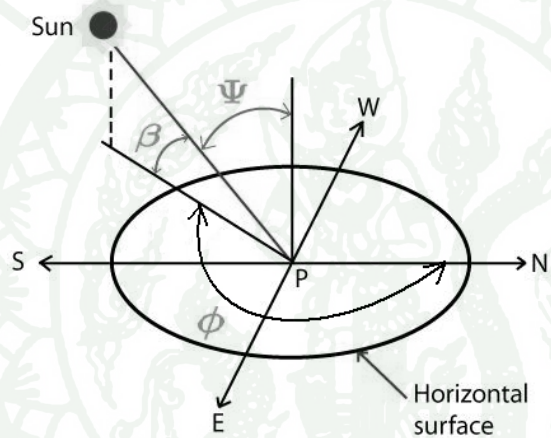
ภาพที่ 1 พลังงานแสงอาทิตย์ที่ผ่านชั้นบรรยากาศ

ที่มา: German Solar Energy Society (2008)

a. มวลอากาศและมุน

โลกหมุนรอบตัวเอง โดยมีแกนที่มุน 23.5° เป็นข้อโลกเหนือและข้อโลกใต้ โลกหมุนรอบตัวเองด้วยความเร็ว 1,000 ไมล์ต่อชั่วโมง ใช้เวลา 24 ชั่วโมงหมุนรอบตัวเองเรียกว่า Solar day เมื่อโลกโคจรรอบดวงอาทิตย์จะทำให้เกิดฤดูกาลที่เปลี่ยนแปลงไปเนื่องจากระยะทางและมุนของโลกกับดวงอาทิตย์ โดยมุนที่ใช้บอกตำแหน่งพิกัดมีด้วยกัน 3 ชนิดคือ 1) มุมอะซิมุท (Azimuth

angle, ϕ) เป็นมุมที่ใช้บอกตำแหน่งของพิกัดบนท้องฟ้า เช่น บอกตำแหน่งของดาวเพื่อตั้งกล้องดูดาวหรือบอกตำแหน่งของดาวเทียมวงโคจรต่างฟ้าเพื่อตั้งจานดาวเทียม การกำหนดมุมอะซิมุท จะมีค่าเริ่มต้นที่ 0 องศาแน่นอน และมีค่าเพิ่มขึ้นตามเข็มนาฬิกา จนมีค่า 90 องศาที่ทิศตะวันออก 180 องศาที่ทิศใต้ และ 270 องศาที่ทิศตะวันตก 2) มุมอัลติจูด (Altitude angle, β) คือมุมระหว่างแนวลำแสงอาทิตย์เมื่อวัดตำแหน่งของดวงอาทิตย์เทียบกับแนวระนาบศูนย์สูตร เป็นบวกเมื่อวัดไปทางทิศเหนือ มุมดิคิกิเนชันมีค่าเปลี่ยนไปทุกวันระหว่าง 23.45° และ -23.45° และ 3) มุมเซนิต (Zenith angle, ψ) เป็นจุดยอดของท้องฟ้าที่อยู่เหนือและตรงกับศีรษะกับแสงอาทิตย์ ทั้ง 3 มุมแสดงดังภาพที่ 2



The solar altitude β , zenith angle ψ , and azimuth angle ϕ .

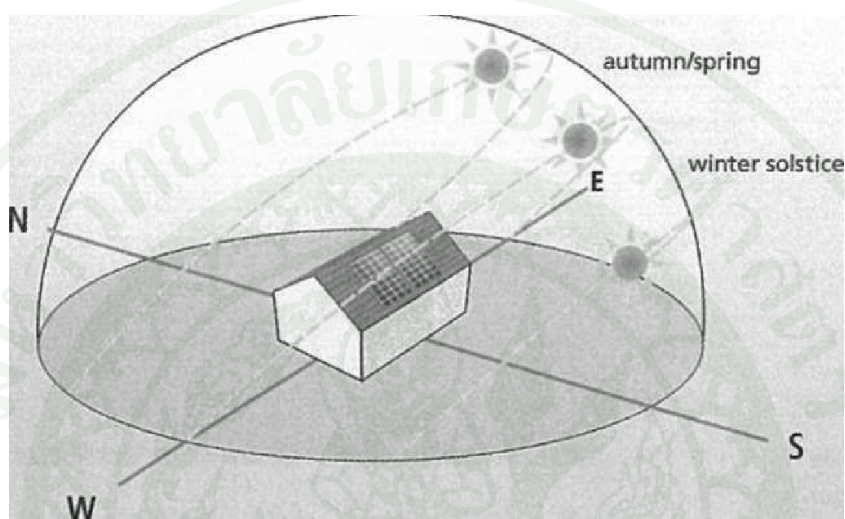
ภาพที่ 2 มุมต่างๆ ที่ใช้บอกตำแหน่งพิกัดท้องฟ้า

ที่มา: มหาวิทยาลัยเทคโนโลยีพระจอมเกล้าธนบุรี (2545)

ค่าความเข้มของแสงอาทิตย์ขึ้นอยู่กับตำแหน่งของดวงอาทิตย์และมุมของแสงที่กระแทบสู่พื้นโลกและมุมของลำแสงจะวัดเทียบกับแนวระดับ โดยขณะที่ดวงอาทิตย์เคลื่อนที่ในช่วงเช้าถึงช่วงเย็น ในแต่ละฤดูกาลจะมีความสูงแตกต่างกัน

ตำแหน่งที่เปลี่ยนไปของแกนโลกเมื่อโลกโคจรรอบดวงอาทิตย์จะสัมพันธ์กับการเปลี่ยนแสงของฤดูกาล ภาพที่ 3 แสดงตำแหน่งของดวงอาทิตย์ตามฤดูกาลต่างๆ ที่จะส่องแสงมากยิ่ง

โลกซึ่งจะทำให้ในแต่ละฤดูกาลตลอดทั้งปี โลกจะได้รับปริมาณความเข้มแสงไม่เท่ากัน ฤดูใบไม้ผลิและใบไม้ร่วงจะมีกลางวันเท่ากับกลางคืนเป็น 12 ชั่วโมงโดยเกิดจากมุมที่ดวงอาทิตย์มีค่าเป็น 23.5 องศา ในช่วงฤดูร้อน ดวงอาทิตย์จะอยู่สูงขึ้นไปกว่าฤดูกาลอื่น มีช่วงเวลากลางวันมากกว่ากลางคืน และในฤดูหนาวดวงอาทิตย์จะอยู่ต่ำกว่าฤดูกาลอื่น มีช่วงเวลากลางคืนมากกว่ากลางวัน



ภาพที่ 3 ตำแหน่งของดวงอาทิตย์ตามฤดูกาลต่างๆ

ที่มา: German Solar Energy Society (2008)

เมื่อมุมอัลตร้าจุดตั้งฉากกับโลก แสงอาทิตย์จะถูกแผ่มาบังชั้นบรรยากาศของโลกในระยะทางที่สั้นที่สุด ทำให้พลังการดูดซึม การทำให้กระจายและสะท้อนกลับลำแสงของชั้นบรรยากาศถูกลดลงทอนลง เป็นผลให้ลำแสงของดวงอาทิตย์ที่ตกมาบังผิวโลกมีค่าความเข้มแสงลดลง เมื่อนำมุมเชนิตมาคำนวณหาความสัมพันธ์กับมวลอากาศ ได้ตามสมการที่ 1

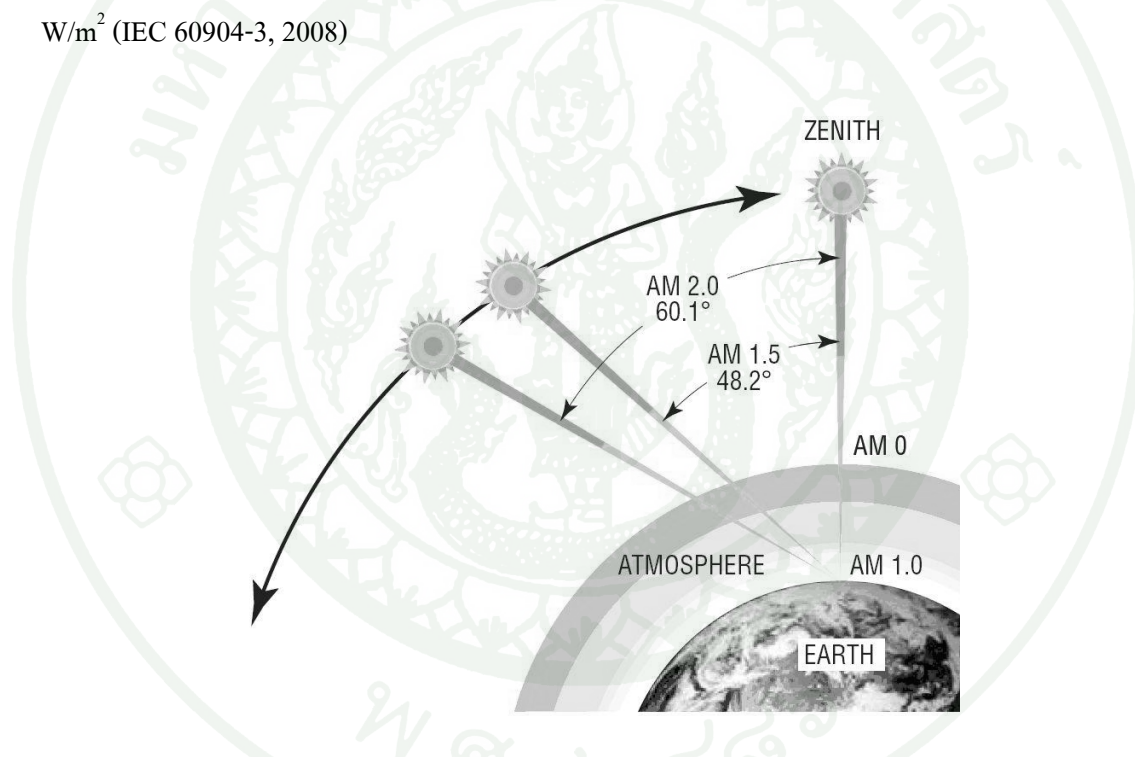
$$AM = \frac{1}{\cos(\psi)} \quad (1)$$

เมื่อ ψ คือ มุมเชนิต

ค่า AM จะแปรตามตำแหน่งของดวงอาทิตย์ที่ทำมุมกับพื้นโลก ซึ่งจากค่า AM จะในแต่ละประเทศที่อยู่ในแนวน้ำเส้นศูนย์สูตรจะมีแนวโน้มของค่า AM ใกล้เคียง 1 แต่จะแตกต่างกัน ใน

ประเทศไทยอยู่ในแนวละติจูดที่สูงขึ้นทั้งทิศเหนือและใต้เทียบกับเส้นศูนย์สูตร จะได้รับความเข้มแสงลดลงตามค่า AM ที่เพิ่มขึ้นอย่างเช่นในประเทศไทยในเขตละติจูดสูง จะมีค่า AM สูงถึง 3-4 (German Solar Energy Society, 2008) ค่าความเข้มแสงภายในอุปกรณ์ของโลกมีค่าเท่ากับ 0 และค่า AM จะเพิ่มขึ้นตามระยะทางที่แสงอาทิตย์เดินทางผ่านชั้นบรรยากาศมาถึงพื้นโลก

ภาพที่ 4 แสดงถึงค่า AM ในตำแหน่งของดวงอาทิตย์ต่างๆ โดยเมื่อยื่นออกชั้นบรรยากาศมีค่า AM เป็น 0 และค่าความเข้มแสงเป็น $1,367 \text{ W/m}^2$ ตามค่าของโซลาร์คอนสแต็นท์ เมื่อแสงผ่านเข้ามาชั้นบรรยากาศทำมุมตั้งจากกับศรีษะจะมีค่า AM เป็น 1.0 ถ้าทำมุม 48.2 และ 60.1 องศา จะมีค่า AM เป็น 1.5 และ 2.0 ตามลำดับ โดยค่า AM 1.5 จะมีค่าความเข้มแสงเป็น $1,000 \text{ W/m}^2$ (IEC 60904-3, 2008)



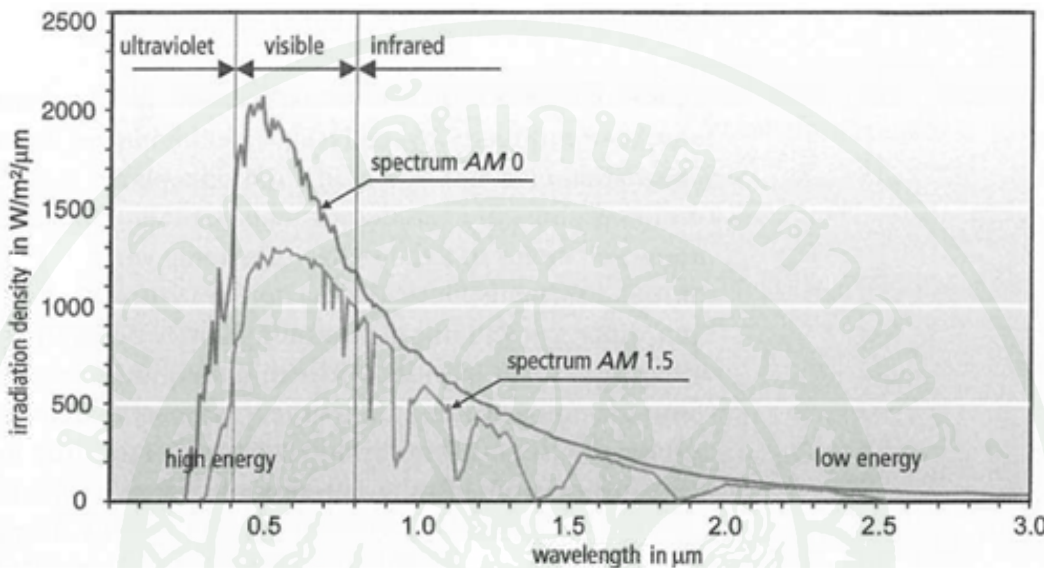
ภาพที่ 4 ค่า AM ที่เปลี่ยนตามตำแหน่งของดวงอาทิตย์

ที่มา: Jeong (2009)

1.2 สเปกตรัมแสง

แสงจากดวงอาทิตย์ที่เป็นแสงสีขาวมีส่วนผสมของสีต่างๆ ซึ่งสีแต่ละสีก็มีความยาวคลื่นเฉพาะตัว สีเหล่านี้เป็นแถบสี 7 สี สามารถใช้ปริซึมแยกสีออกมาได้ เรียกแถบสีเหล่านี้ว่า

สเปกตรัม มีความยาวคลื่นอยู่ในช่วง 400 – 800 nm (Brent, 1969) โดยสเปกตรัมแสงแต่ละความยาวคลื่นก็จะมีพลังงานที่แตกต่างกันออกไป ภาพที่ 5 แสดงการเปรียบเทียบของสเปกตรัมของแสงอาทิตย์ที่ค่า AM 0 ซึ่งเป็นค่าที่วัดภายนอกชั้นบรรยากาศโลก และค่า AM 1.5



ภาพที่ 5 เปรียบเทียบสเปกตรัมของแสงระหว่างค่า AM 0 และ AM 1.5

ที่มา: German Solar Energy Society (2008)

2. เซลล์แสงอาทิตย์

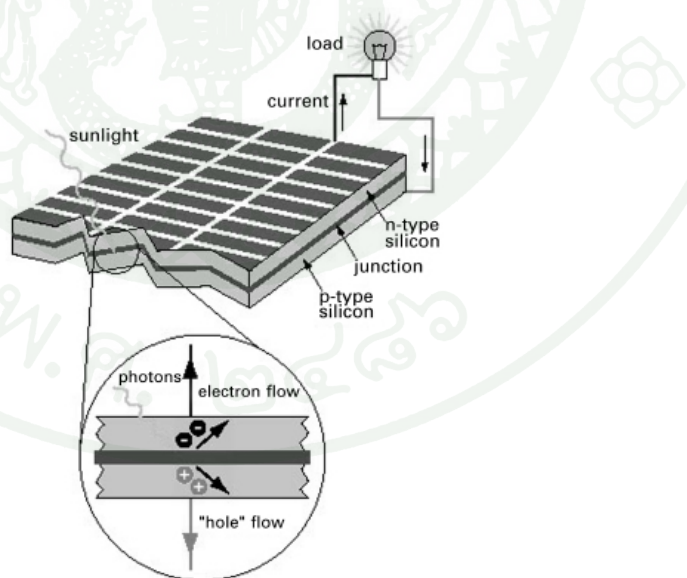
เซลล์แสงอาทิตย์เป็นแหล่งพลังงานทดแทนชนิดหนึ่งที่เป็นที่ยอมรับกันว่า สะอาดและไม่สร้างมลภาวะเป็นพิษใดๆ ขณะใช้งาน ไม่ทำลายสภาพแวดล้อม เพียงคิดตั้งเซลล์แสงอาทิตย์ไว้ กลางแสงอาทิตย์ ก็สามารถใช้งานได้ทันที อายุการใช้งานยาวนานกว่า 20 ปี ดังนั้นมีอัลงทุนคิดตั้งเซลล์แสงอาทิตย์ในครั้งแรก ก็แทบจะไม่มีค่าใช้จ่ายเพิ่มขึ้นในส่วนของแพงเซลล์แสงอาทิตย์

เซลล์แสงอาทิตย์เป็นสิ่งประดิษฐ์อปโตอิเล็กทรอนิกส์ ผลิตจากสารกึ่งตัวนำ เช่น ซิลิโคน(Silicon) แกลลิเมียมอาร์เซนไนด์(Gallium Arsenide) แคดเมียมเทลเลอไรด์(Cadmium Telluride) เป็นต้น (Boyle, 1998) ที่สามารถเปลี่ยนพลังงานแสงอาทิตย์เป็นพลังงานไฟฟ้าได้โดยตรง โดยกระบวนการโฟโตโวลาติค(Photovoltaic effect) ซึ่งเป็นกระบวนการที่ทำให้เกิด

ความต่างศักย์ไฟฟ้าขึ้นภายในสารกึ่งตัวนำ ในขณะที่ปริมาณความเข้มรังสีแสงอาทิตย์ที่มีพลังงานมาตรฐานของระบบ และเมื่อนำภาระทางไฟฟ้ามาต่อให้ครบวงจร อิเล็กตรอนอิสระบริเวณรอยต่อจะเกิดการเคลื่อนที่เป็นกระแสไฟฟ้าไหลในวงจรได้

a. หลักการทำงานของเซลล์แสงอาทิตย์

โครงสร้างพื้นฐานของเซลล์แสงอาทิตย์คือ รอยต่อพีเอ็น (P-N junction) ของสารกึ่งตัวนำ และวัสดุสารกึ่งตัวนำที่ราคาถูกที่สุดและพบมากที่สุดบนโลกได้แก่ ซิลิโคน (ดุสิต, 2542) ซึ่งอยู่ได้จากแร่ควอต ไซต์หรือทรัม และผ่านขั้นตอนการทำให้บริสุทธิ์ตลอดจนการทำให้เป็นผลึก เมื่อมีแสงอาทิตย์ตกกระทบเซลล์แสงอาทิตย์ จะเกิดการสร้างพานะนำไฟฟ้านิดประจุลบและประจุบวกขึ้น คือ อิเล็กตรอนและโอล โดยอิเล็กตรอนและโอลจะที่รอยต่อของสารกึ่งตัวนำ โครงสร้างรอยต่อ p-n จะทำหน้าที่สร้างสนามไฟฟ้าภายในเซลล์เพื่อแยกอิเล็กตรอนให้ไหลไปที่ขั้นตอนทางด้านสารกึ่งตัวนำ n และแยกโอลให้ไหลไปที่ขั้นตอนทางด้านสารกึ่งตัวนำ p ด้วยเหตุนี้ทำให้เกิดแรงดันไฟฟ้าแบบกระแสตรงขึ้นที่ขั้วหิ้ง 2 เมื่อต่อเซลล์แสงอาทิตย์เข้ากับโหลดก็จะมีกระแสไฟฟ้าไหลในวงจร แสดงดังภาพที่ 6



ภาพที่ 6 การทำงานของเซลล์แสงอาทิตย์

ที่มา: ดุสิต (2542)

b. ชนิดของเซลล์แสงอาทิตย์

ปัจจุบันเซลล์แสงอาทิตย์มีการปรับเปลี่ยนโครงสร้างให้มีความหลากหลายเพื่อให้ได้ประสิทธิภาพสูงสุดและการลดต้นทุนให้ต่ำ โดยเซลล์แสงอาทิตย์ที่นิยมใช้มากคือเซลล์แสงอาทิตย์ที่ผลิตด้วยซิลิคอนซึ่งมีราคาถูก โครงสร้างหลักของเซลล์แสงอาทิตย์ที่มีวัสดุซิลิคอนเป็นส่วนประกอบแบ่งได้ 3 ประเภทคือ

2.2.1 เซลล์แสงอาทิตย์ชนิดผลึกเดียวซิลิคอน (Single crystalline Silicon: sc-Si)

เซลล์แสงอาทิตย์ชนิด sc-Si มีการใช้งานกันมากและแพร่หลาย เพราะมีจุดเด่นคือ มีนำหน้ากว่าประสิทธิภาพเดียวกันนิดเดียว แต่ต้องใช้เวลาในการผลิตนานกว่าเซลล์ชนิดอื่นๆ ทำให้ต้นทุนสูงกว่าเซลล์ชนิดอื่นๆ อย่างไรก็ตาม ประสิทธิภาพประมาณ 15-18% (German Solar Energy Society, 2008) อยุการใช้งานยาวนาน มีการเปลี่ยนแปลงคุณสมบัติการผลิตไฟฟ้าน้อยมาก จึงสามารถนำไปใช้งานในสถานที่โดยเดียวได้ เช่น ดาวเทียมหรืออากาศ แม้ว่าจะมีข้อเสียคือราคาสูงเมื่อเทียบกับเซลล์แสงอาทิตย์ชนิดอื่น แต่ก็มีโครงสร้างการเรียงตัวของอะตอมที่เป็นระเบียบ

2.2.2 เซลล์แสงอาทิตย์ชนิดผลึกโพลีซิลิคอน (Poly crystalline Silicon: poly c-Si)

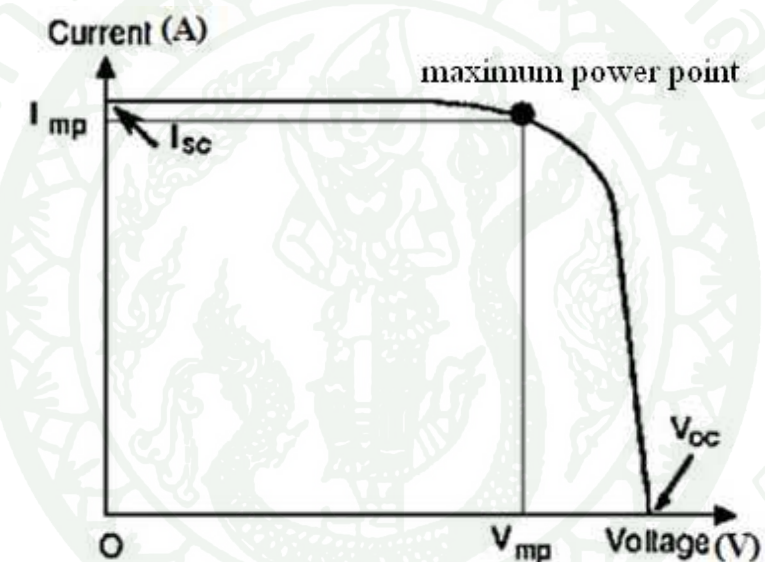
จุดประสงค์ในการผลิตเซลล์แสงอาทิตย์ชนิด poly c-Si นี้มีความสำคัญคือ เพื่อลดต้นทุนการผลิต เนื่องจากต้นทุนการผลิต poly c-Si มีแนวโน้มถูกกว่าเซลล์แสงอาทิตย์ชนิด sc-Si ดังนั้นเซลล์แสงอาทิตย์ชนิด poly c-Si จึงกำลังได้รับความสนใจในฐานะที่จะเป็นเซลล์แสงอาทิตย์ที่มีราคาถูกชนิดหนึ่ง โดยมีประสิทธิภาพประมาณ 13-15% (Yates, 2003) การเรียงตัวของโครงสร้างอะตอมเป็นแบบ ซึ่งภายในแต่ละແฉบจะมีการเรียงตัวของอะตอมที่เป็นระเบียบ

2.2.3 เซลล์แสงอาทิตย์ชนิดฟิล์มบางอะมอร์ฟัสซิลิคอน (Thin film Amorphous Silicon: thin film a-Si)

เซลล์แสงอาทิตย์ชนิด thin film a-Si เป็นเซลล์แสงอาทิตย์ชนิดฟิล์มบาง มีราคาถูกกว่าเซลล์แสงอาทิตย์ชนิดอื่นแต่ประสิทธิภาพต่ำกว่าเซลล์ชนิดอื่นด้วยเห็นแก้ นิมีโครงสร้างการเรียงตัวของอะตอมที่ไม่เป็นระเบียบ โดยมีประสิทธิภาพประมาณ 5-7% (Yates, 2003)

2.3 IV Curve และตัวแปรที่ใช้แสดงคุณสมบัติทางไฟฟ้าของเซลล์แสงอาทิตย์

ตัวแปรสำคัญสำหรับใช้ในการบ่งบอกถึงคุณลักษณะและประสิทธิภาพในการผลิตไฟฟ้าของเซลล์จะเรียกว่า IV Curve ซึ่งเป็นกราฟที่สามารถระบุลักษณะของการผลิตไฟฟ้าของเซลล์แสงอาทิตย์แต่ละชนิดที่แบร์เพนตามชนิด โครงสร้างและประสิทธิภาพของเซลล์แสงอาทิตย์ กราฟ IV Curve มีลักษณะดังภาพที่ 7 ซึ่งสามารถระบุถึงค่ากำลังไฟฟ้าสูงสุด (P_m) ที่จุด Maximum power point โดยจุดนี้เมื่อถูกเส้นบนแกน x จะได้จุดตัดกราฟที่แกน y จะได้ค่า I_{mp} และเมื่อถูกเส้นบนแกน y จะได้จุดตัดกราฟที่แกน x จะได้ค่า V_{mp}



ภาพที่ 7 กราฟ IV Curve ของเซลล์แสงอาทิตย์

ตัวแปรที่สำคัญต่างๆ ที่สามารถอ่านได้จาก IV Curve มีดังนี้

2.3.1 แรงดันไฟฟ้าว่างจรเปิด (Open Circuit Voltage, V_{oc})

ค่าแรงดันไฟฟ้าสูงสุดที่วัดได้ขณะที่เซลล์แสงอาทิตย์ถูกเปิดวงจร เมื่อร้อยต่อร้อยหัวใจซิลิกอนชนิดพีกับซิลิกอนชนิดเอ็น ได้รับแสง กระแสไฟฟ้าที่ไหลในวงจรในขณะนั้นเป็นศูนย์

2.3.2 กระแสไฟฟ้าลัดวงจร (Short Circuit Current, I_{sc})

ค่ากระแสไฟฟ้าสูงสุดที่วัดได้ ขณะที่เซลล์แสงอาทิตย์ถูกลัดวงจร เมื่อเซลล์แสงอาทิตย์ได้รับแสงจะทำให้เกิดกระแสไฟฟ้าออกจากเซลล์แสงอาทิตย์ผ่านไปยังวงจรภายนอก สภาวะนี้กระแสไฟฟ้ามีค่าสูงสุด

2.3.3 กำลังไฟฟ้าสูงสุด (Maximum Power, P_m)

ค่าผลคูณของแรงดันไฟฟ้ากับกระแสไฟฟ้าที่เซลล์แสงอาทิตย์จ่ายออกมานามค่าที่ทำให้เกิดผลคูณมีค่าสูงสุด สามารถวัดได้ขณะที่ต่อภาระทางไฟฟ้าที่มีค่าหมายรวมค่าหนึ่ง และเมื่อพิจารณาในส่วนของกราฟ IV Curve ค่า P_m คือ พื้นที่สี่เหลี่ยมภายใน IV Curve ที่มีค่ามากที่สุด มีสมการคำนวณดังสมการที่ 2

$$P_m = V_{mp} \times I_{mp} \quad (2)$$

2.3.4 ค่าฟิลแฟคเตอร์ (Fill Factor)

ค่าที่ใช้กำหนดคุณภาพของเซลล์แสงอาทิตย์ เป็นอัตราส่วนระหว่างค่ากำลังไฟฟ้าสูงสุดที่(P_m) เซลล์แสงอาทิตย์จ่าย ให้จริงกับผลคูณของกระแสไฟฟ้าลัดวงจรกับแรงดันไฟฟ้าງจรเปิด สำหรับการทดสอบที่สภาพอากาศฐานค่าฟิลแฟคเตอร์จะมีค่าอยู่ระหว่าง 0.6 - 0.8 (Green, 1998) ซึ่งความต้านทานที่อยู่ภายในเซลล์จะมีผลต่อการลดลงของค่าฟิลแฟคเตอร์ เมื่อพิจารณาค่า Fill factor ใน IV Curve ที่เป็นอัตราส่วนของพื้นที่สี่เหลี่ยมพื้นผ้าของกราฟที่ลากจาก I_{mp} กับ V_{mp} ต่อพื้นที่ของกราฟที่ลากจาก I_{sc} กับ V_{oc} มีสมการคำนวณดังสมการที่ 3

$$FF = \frac{V_{mp} \times I_{mp}}{V_{oc} \times I_{sc}} \quad (3)$$

2.3.5 ประสิทธิภาพในการเปลี่ยนพลังงาน (η)

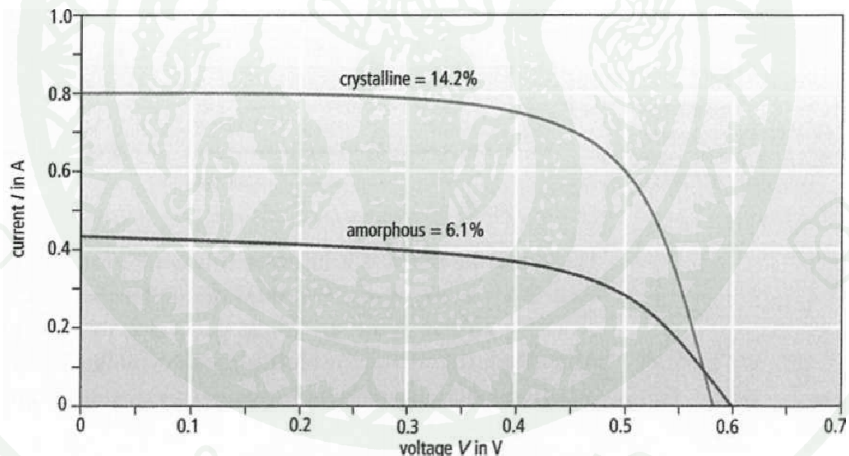
ค่าอัตราส่วนของกำลังไฟฟ้าสูงสุดกับพลังงานความเข้มแสงที่ตกกระทบบนเซลล์แสงอาทิตย์ ดังสมการที่ 4 (German Solar Energy Society, 2008)

$$\eta = \frac{P_m}{A \times E} \quad (4)$$

เมื่อ A คือ พื้นที่ของเซลล์แสงอาทิตย์ (cm^2)

E คือ ความเข้มแสงที่ต่อกกระหบเซลล์แสงอาทิตย์ (W/m^2)

IV Curve นี้นักจากความสามารถในการดูดซึมแสงในการผลิตไฟฟ้าของเซลล์แต่ละชนิดแล้วข้างสามารถใช้ระบุถึงคุณสมบัติของแผงเซลล์ที่มีการต่อเซลล์ภายในแผงเซลล์ให้มีค่าทางไฟฟ้าสูงขึ้นอีกด้วย อีกทั้งเมื่อนำค่าที่ได้จาก IV Curve มาเปรียบเทียบกันระหว่างเซลล์แสงอาทิตย์ต่างชนิดกันจะพบคุณสมบัติทางไฟฟ้าที่แตกต่างกันเพื่อให้ทราบถึงลักษณะของประสิทธิภาพทางไฟฟ้าที่ต่างกันของเซลล์แต่ละชนิด ตามแสดงในภาพที่ 8 ที่เป็นการเปรียบเทียบคุณสมบัติของเซลล์ชนิดผลึกซิลิคอนกับเซลล์ชนิด thin film a-Si ที่มีค่าประสิทธิภาพทางไฟฟ้าที่ต่างกัน



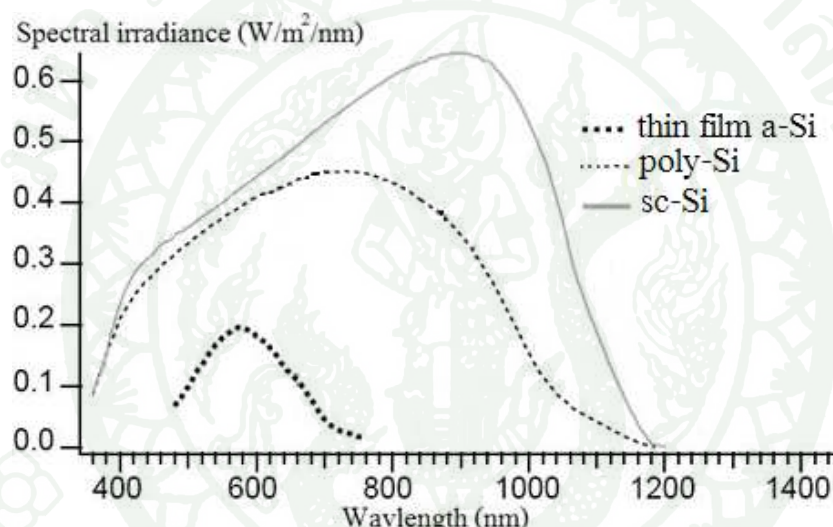
ภาพที่ 8 การเปรียบเทียบประสิทธิภาพของเซลล์ชนิดผลึกซิลิคอนและ thin film a-Si

ที่มา: German Solar Energy Society (2008)

2.4 การตอบสนองต่อสเปกตรัมแสงของเซลล์แสงอาทิตย์

การทำงานของเซลล์แสงอาทิตย์ใช้พลังงานจากแสงอาทิตย์มาเปลี่ยนเป็นพลังงานไฟฟ้าโดยอาศัยการตอบสนองของเซลล์แสงอาทิตย์กับช่วงความยาวคลื่นของแสงเป็นตัวกำหนด

ระดับของพลังงานที่แสงจะสามารถกระตุ้นให้เซลล์แสงอาทิตย์ปลดปล่อยอิเล็กตรอนได้มากหรือน้อยตามค่าความยาวคลื่นของแสงเป็นหลัก ดังนั้นการออกแบบโครงสร้างเซลล์แสงอาทิตย์รวมไปถึงชนิดของวัสดุที่ใช้สร้างเซลล์จึงมุ่งเน้นที่การตอบสนองต่อช่วงความยาวคลื่นของแสงอาทิตย์เป็นสำคัญ โดยทั่วไปเซลล์แสงอาทิตย์จะมีการตอบสนองต่อสเปกตรัมแสงที่แตกต่างกันตามชนิดของเซลล์แสงอาทิตย์ ซึ่งช่วงของการตอบสนองนั้นแตกต่างกันไปตามวัสดุที่ใช้ในการทำเซลล์แสงอาทิตย์ (Field, 1997) ตามภาพที่ 9 เมื่อพิจารณาถึงเซลล์แสงอาทิตย์ 3 ชนิดคือ แบบ sc-Si แบบ poly c-Si และแบบ thin film a-Si จะเห็นได้ว่าการตอบสนองต่อสเปกตรัมแสงของเซลล์แสงอาทิตย์ชนิด sc-Si มีช่วงตอบสนองที่กว้างที่สุด ถัดมาคือ poly c-Si และ thin film a-Si ตามลำดับ



ภาพที่ 9 การตอบสนองต่อสเปกตรัมแสงของเซลล์แสงอาทิตย์ที่ประกอบด้วยสารซิลิคอน

ที่มา: Filed (1997)

3. การศึกษาผลกระทบของสเปกตรัมแสงต่อสมรรถภาพของเซลล์แสงอาทิตย์

การทดสอบสมรรถภาพของเซลล์แสงอาทิตย์ในปัจจุบันใช้ผลการทดสอบจากห้องทดลองโดยกำหนดสภาพตามมาตรฐานสากล Standard test condition (STC) มีรายละเอียดคือ ความเข้มแสง $1,000 \text{ W/m}^2$ อุณหภูมิแพลงเซลล์ 25 องศาเซลเซียสและ Air mass (AM) 1.5 โดยสมรรถภาพของเซลล์แสงอาทิตย์มีความสัมพันธ์กับอุณหภูมิและความเข้มแสง (Minemoto, 2008) ซึ่งตามสภาวะ STC ผลต่างระหว่างประสิทธิภาพที่ได้จริงเมื่อติดตั้งภายนอกอาคารต่างกันมาก

ดังนั้นผลการทดสอบในห้องทดสอบอาจไม่เพียงพอต่อการประมาณค่าการผลิตไฟฟ้าจากแผงเซลล์แสงอาทิตย์ ในสภาวะใช้งานจริงปัจจัยอื่นๆ ก็มีจาก 2 ปัจจัยหลักข้างต้น (Minemoto, 2008) คือทำการศึกษาผลจากสภาพแวดล้อม เช่น อุณหภูมิ อุ่น度过 ความชื้น relative humidity และความเร็ว�ทางที่มา (Wind speed) รวมถึงการคำนวณค่า APE ที่คำนวณโดยใช้สูตร

Performance ratio (PR) ค่า PR เป็นค่าบ่งชี้ถึงสมรรถภาพของแผงเซลล์แสงอาทิตย์ ได้จากการนำพลังงานจากอุ่นความร้อนออกหารด้วยพลังงานภายใต้ STC (Otani, 2008) การคำนวณค่า PR แสดงดังสมการที่ 5-7

$$Y_r = H/G \quad (5)$$

$$Y_m = E/P_{STC} \quad (6)$$

$$PR = Y_m/Y_r \quad (7)$$

เมื่อ	Y_r	คือ Yield อ้างอิง
	H	คือ ค่าความเข้มแสงที่วัดได้ (W/m^2)
	G	คือ ความเข้มแสงอ้างอิงมีค่าเป็น $1,000 \text{ W/m}^2$
	Y_m	คือ Yield ของกำลังไฟฟ้า
	E	กำลังไฟฟ้าจาก (W)
	P_{STC}	คือกำลังไฟฟ้าที่วัดได้ที่สภาวะ STC (W)

ค่า APE คือ ดัชนีที่ใช้ในการกระจายของスペกตรัมแสง มีหน่วยเป็น eV การหาค่า APE เริ่มจากหาค่าเฉลี่ยถ่วงน้ำหนักของความยาวคลื่นแสง (λ_{WA}) (Otani, 2008) ดังสมการที่ 8

$$\lambda_{WA} = \frac{\int_a^b E(\lambda) \cdot \lambda d\lambda}{\int_a^b E(\lambda) d\lambda} \quad (8)$$

เมื่อ	E	คือ ความเข้มแสงของแต่ละスペกตรัม
	a และ b	คือ ที่ใช้คือความยาวคลื่นแสงช่วงต่ำสุดและสูงสุด (nm) ตามลำดับ

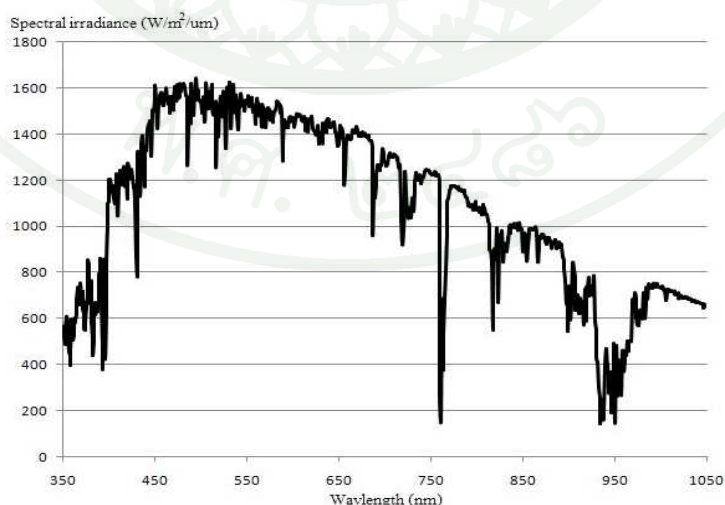
นำค่าความยาวคลื่นแสงเฉลี่ยถ่วงน้ำหนักที่ได้มาหาค่า APE โดยการคำนวณตาม
สมการที่ 9

$$APE = \frac{hc}{\lambda_{WA}} \quad (9)$$

เมื่อ h คือ Planck's constant มีค่า 4.135667×10^{-15} eV·s
 c คือ ความเร็วแสงมีค่า 3×10^8 m/s

เมื่อวิเคราะห์ถึงค่า APE ถ้าค่า APE สูงแสดงว่าความยาวคลื่นเฉลี่ยถ่วงน้ำหนักมีค่าต่ำ
สามารถออกคลึงสเปกตรัมแสงนั้นมีองค์ประกอบของความยาวคลื่นสีน้ำเงินอยู่มาก โดยความยาว
คลื่นสเปกตรัมแสงสีน้ำเงินเป็นความยาวคลื่นสั้น และถ้า APE มีค่าต่ำ แสดงให้เห็นว่าแสงมี
องค์ประกอบของความยาวคลื่นสีแดงอยู่มาก

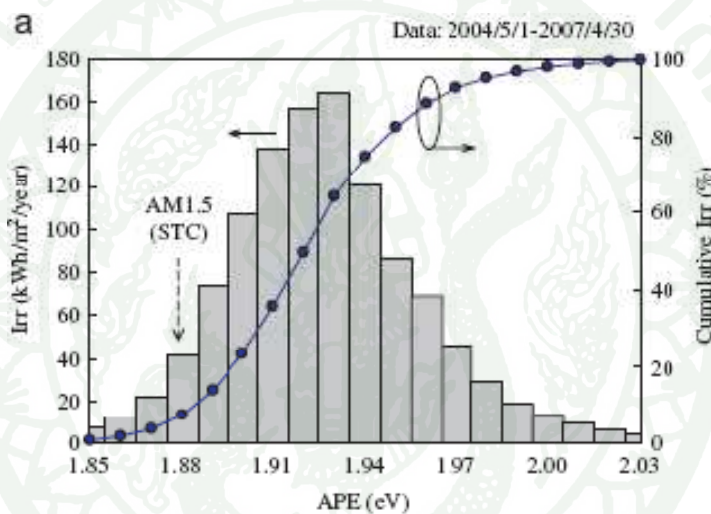
จากข้อมูลของ IEC 60907-3, 2008 ซึ่งอ้างอิงช่วงสเปกตรัมแสงตาม STC ที่ค่า AM
เป็น 1.5 เมื่อนำมาสร้างกราฟของสเปกตรัมแสงโดยเลือกข้อมูลในช่วงความยาวคลื่นที่ 350 – 1050
nm ได้ผลดังภาพที่ 10 เมื่อนำข้อมูลมาคำนวณเพื่อหาค่า APE ตามสมการที่ (8) และ (9) พบว่า APE
มีค่า 1.88 eV



ภาพที่ 10 กราฟสเปกตรัมแสงที่ AM 1.5 ตามมาตรฐาน IEC 60907-3, 2008

4. งานวิจัยที่เกี่ยวข้อง

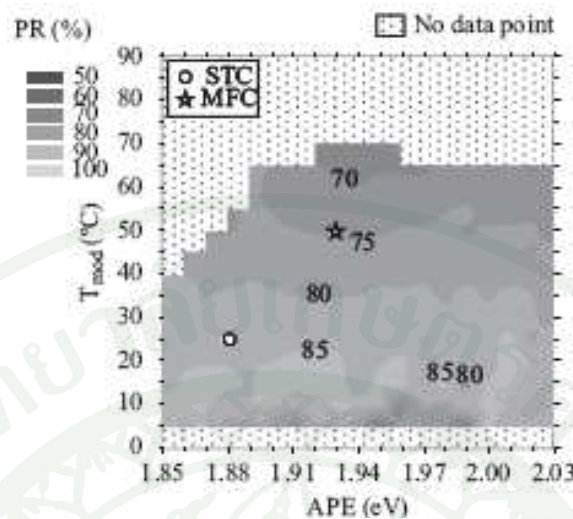
การศึกษาผลกระทบสเปกตรัมแสงกับสมรรถภาพเซลล์แสงอาทิตย์ชนิดต่างๆ โดยทำการศึกษาที่ประเทศญี่ปุ่นเมือง Kusatsu ตำแหน่ง ละติจูด $34^{\circ}58'$ องศาเหนือ และลองติจูด $135^{\circ}57'$ องศาตะวันออก โดยทำการศึกษาสภาวะแวดล้อมในความสัมพันธ์ของ APE กับความเข้มแสงสะท้อนเพื่อใช้ในการออกแบบค่า APE ที่มีมาก ณ ภูมิภาคนั้น ซึ่งจากการพิที่ 11 สรุปได้ว่าประเทศญี่ปุ่นค่า APE ที่มีค่าความเข้มแสงสูงที่สุดมีค่า 1.93 ± 0.005 eV ซึ่งมากกว่าค่า APE มาตรฐานที่มีค่า 1.88 eV ที่ STC (Minemoto, 2009)



ภาพที่ 11 กราฟแท่งความสัมพันธ์ระหว่างความเข้มแสงสะท้อนกับ APE เมือง Kusatsu

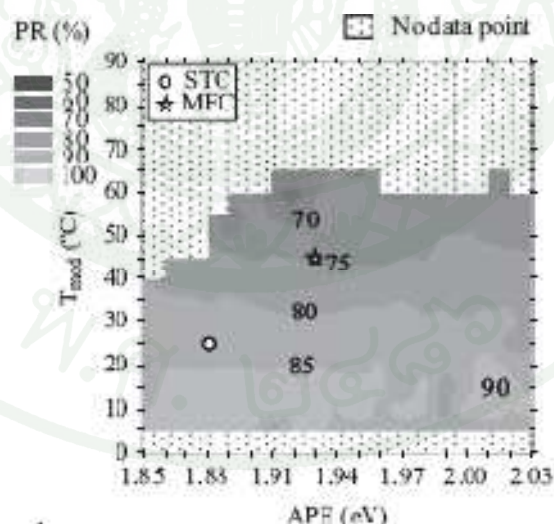
ที่มา: Minemoto (2009)

ทั้งนี้ยังมีการแสดงผลในรูปแบบแผนภูมิคอนทัวร์ เพื่อศึกษาความสัมพันธ์ระหว่างสมรรถภาพโดยใช้ค่า PR ของเซลล์แสงอาทิตย์ชนิดต่างๆ กับอุณหภูมิของแผงเซลล์และค่า APE ภาพที่ 12-16 คือ เซลล์แสงอาทิตย์ชนิด sc-Si, poly c-Si, thin film a-Si, a-Si/mc และ a-Si/a-SiGe/a-SiGe ตามลำดับ ตามภาพนั้นระบุถึงสภาพ STC โดยใช้เครื่องหมายรูปวงกลมคือ APE ตามมาตรฐาน STC มีค่า 1.88 eV และอุณหภูมิของแผงเซลล์แสงอาทิตย์ 25°C ส่วนที่เครื่องหมายรูปดาวคือที่ APE สภาวะปกติ (Most frequent condition: MFC) ของสถานที่ที่ทำการเก็บข้อมูลประเทศญี่ปุ่นมีค่าเป็น 1.93 eV



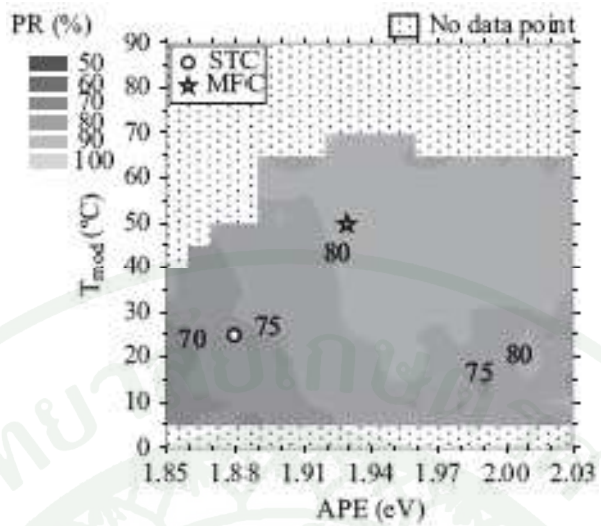
ภาพที่ 12 แผนภูมิคอนทัวร์ของ PR เซลล์แสงอาทิตย์ชนิด sc-Si ในรูปแบบความสัมพันธ์ของ อุณหภูมิแพงเซลล์แสงอาทิตย์กับ APE

ที่มา: Minemoto (2009)



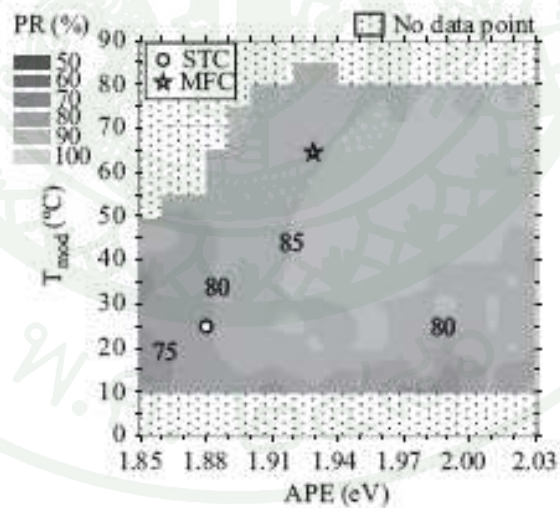
ภาพที่ 13 แผนภูมิคอนทัวร์ของ PR เซลล์แสงอาทิตย์ชนิด poly c-Si ในรูปแบบความสัมพันธ์ของ อุณหภูมิแพงเซลล์แสงอาทิตย์กับ APE

ที่มา: Minemoto (2009)



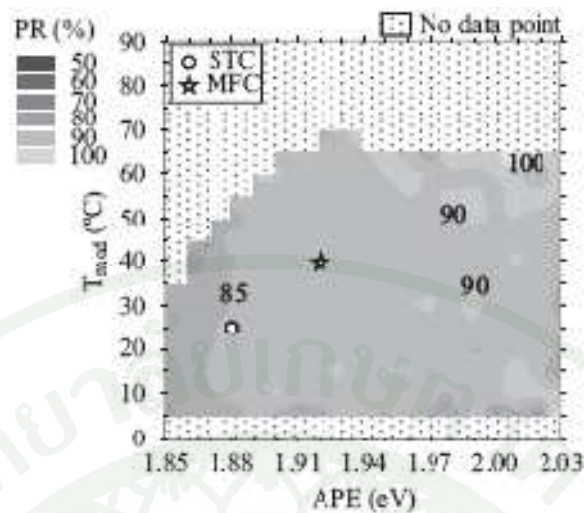
ภาพที่ 14 แผนภูมิคุณทั่วไปของ PR เซลล์แสงอาทิตย์ชนิด thin film a-Si ในรูปแบบความสัมพันธ์ของอุณหภูมิแพงเซลล์แสงอาทิตย์กับ APE

ที่มา: Minemoto (2009)



ภาพที่ 15 แผนภูมิคุณทั่วไปของ PR เซลล์แสงอาทิตย์ชนิด a-Si/mc ในรูปแบบความสัมพันธ์ของอุณหภูมิแพงเซลล์แสงอาทิตย์กับ APE

ที่มา: Minemoto (2009)



ภาพที่ 16 แผนภูมิคอนทัวร์ของ PR เซลล์แสงอาทิตย์ชนิด 3 ชั้นคือ a-Si/a-SiGe/a-SiGe ในรูปแบบความสัมพันธ์ของอุณหภูมิแสงเซลล์แสงอาทิตย์กับ APE

ที่มา: Minemoto (2009)

เมื่อเปรียบเทียบภาพที่ 12 และ 13 เซลล์แสงอาทิตย์ทั้ง 2 ชนิดคือ sc-Si และ poly c-Si เห็นได้ว่ามีความคล้ายคลึงกันอย่างมากคือ เมื่ออุณหภูมิของแสงเซลล์แสงอาทิตย์มีค่าเพิ่มขึ้นจะส่งผลให้ค่า PR ลดลง โดยสังเกตได้จากการในแนวแกนตั้ง และจำกัดค่า APE ไว้ที่ค่าหนึ่ง ส่วนค่าของ APE ส่งผลกระทบเพียงเล็กน้อยกับค่า PR โดยสามารถสังเกตได้จากการในแนวแกนนอน และจำกัดค่าอุณหภูมิของเซลล์แสงอาทิตย์ไว้ที่ค่าหนึ่ง จากนั้นเมื่อเปรียบเทียบภาพที่ 14 และภาพที่ 15 ซึ่งมีองค์ประกอบของเซลล์แสงอาทิตย์ชนิด thin film a-Si จะเห็นได้ว่า ทั้งอุณหภูมิของแสงเซลล์แสงอาทิตย์และค่า APE ส่งผลกระทบกับค่า PR ของเซลล์แสงอาทิตย์ โดยค่า PR มีค่าสูงที่อุณหภูมิของแสงเซลล์แสงอาทิตย์มากกว่า 30°C และค่า APE มากกว่า 1.92 eV ทั้งนี้ในส่วนของภาพที่ 16 ซึ่งเป็นเซลล์แสงอาทิตย์ชนิด a-Si/a-SiGe/a-SiGe ค่า APE ส่งผลเพียงเล็กน้อยต่อค่า PR ส่วนอุณหภูมิของแสงเซลล์แสงอาทิตย์ส่งผลกระทบเพียงเล็กน้อย

นำมาทำข้อเปรียบเทียบกันตามตารางที่ 1 โดยเปรียบเทียบในส่วนของค่า PR ที่สภาวะ STC และ สภาวะ MFC ในเซลล์แสงอาทิตย์แต่ละชนิด พบว่าเซลล์แสงอาทิตย์ชนิด sc-Si และ poly c-Si มีค่า PR ที่สภาวะ MFC ต่ำกว่าที่สภาวะ STC ประมาณ 9% ในส่วนของเซลล์แสงอาทิตย์ชนิด thin film a-Si และ a-Si/ μ c มีค่า PR ที่สภาวะ MFC สูงกว่า ที่สภาวะ STC 8% และ 5%

โดยประมาณตามลำดับ มีเพียงเฉพาะเซลล์แสงอาทิตย์ชนิด a-Si/a-SiGe/a-SiGe ที่ค่า PR ทั้งสภาวะ STC และ MFC มีค่าไม่แตกต่างกัน โดยค่า PR ต่างกันไม่ถึง 1%

ตารางที่ 1 เปรียบเทียบค่า PR ของเซลล์แสงอาทิตย์แต่ละชนิดที่สภาวะ STC และ MFC

ชนิดของเซลล์แสงอาทิตย์	ประเภท	PR@STC(%)	PR@MFC(%)	PR(MFC-STC)
(a) sc-Si	Bulk	83.49	74.24	-9.25
(b) poly c-Si	Bulk	83.68	74.2	-9.48
(c) a-Si	Thin-film	73.27	81.28	8.01
(d) a-Si/ μ c-Si	Thin-film	79.23	83.88	4.65
(e) a-Si/a-SiGe/a-SiGe	Thin-film	86.23	86.89	0.66

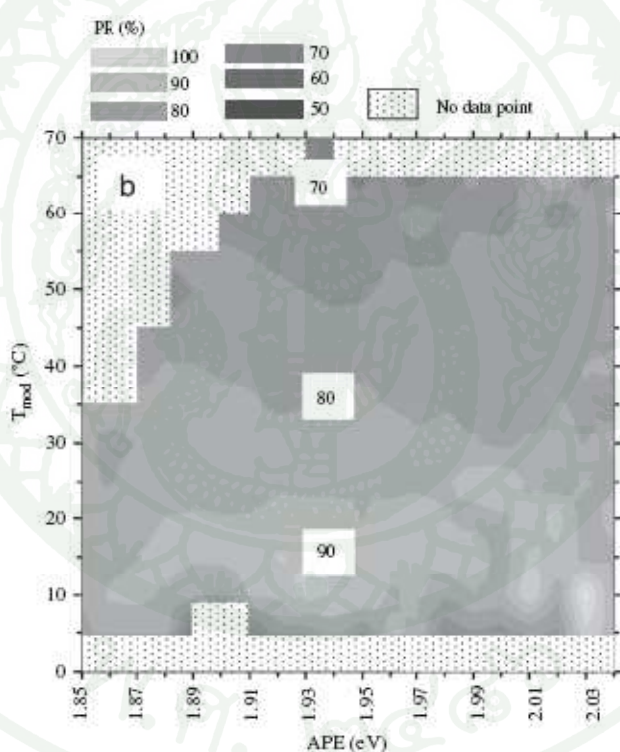
ที่มา: Minemoto (2009)

ผลจากตารางที่ 1 ชี้ให้เห็นว่าภายใต้สภาวะ STC พลังงานที่ได้จริงของเซลล์แสงอาทิตย์ชนิด sc-Si และ poly c-Si มีสมรรถภาพสูงกว่าเซลล์แสงอาทิตย์ชนิด thin film a-Si และ a-Si/ไมโครคริสตัลไลน์ ยกเว้นเซลล์แสงอาทิตย์ชนิด a-Si/a-SiGe/a-SiGe

อิทธิพลของอุณหภูมิแรงเซลล์แสงอาทิตย์และค่า APE ต่อค่า PR สามารถสรุปได้ว่า ค่า PR ของเซลล์แสงอาทิตย์ชนิด sc-Si และ poly c-Si ได้รับผลกระทบอุณหภูมิของแรงเซลล์แสงอาทิตย์ เป็นหลัก ส่วนเซลล์แสงอาทิตย์ชนิด thin film a-Si และ a-Si/ไมโครคริสตัลไลน์ ได้รับผลกระทบทั้ง 2 ตัวแปร ความสำคัญของการเข้าใจคุณสมบัติของเซลล์แสงอาทิตย์ชนิดต่างๆ และความแม่นยำในข้อมูลของสภาวะแวดล้อมที่ทำการติดตั้ง จึงควรต้องมีการศึกษาถึงกระบวนการวิเคราะห์มาตรฐานของเซลล์แสงอาทิตย์ที่ติดตั้งภายนอกอาคาร

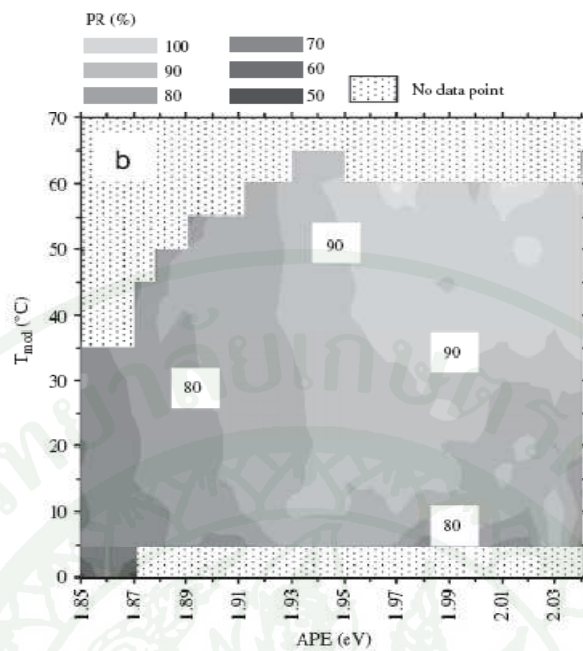
ยังมีการศึกษาความสัมพันธ์ของสมรรถภาพเซลล์แสงอาทิตย์ 2 ชนิดคือ เซลล์แสงอาทิตย์ชนิด thin film a-Si และเซลล์แสงอาทิตย์ชนิด sc-Si ในช่วงเวลาตลอดปี โดยนำ PR แสดงในรูปแบบความสัมพันธ์ของอุณหภูมิแรงเซลล์แสงอาทิตย์กับ APE ที่เมือง Kusatsu ประเทศ

ญี่ปุ่นตลอดปี 2004 (Nakada, 2009) โดยมีการเก็บข้อมูลและวิเคราะห์จำนวน 2,200,000 ข้อมูล ภาพที่ 17 แสดงกราฟคอนทัวร์ของเซลล์แสงอาทิตย์ชนิด sc-Si ในรูปแบบความสัมพันธ์ระหว่างค่า PR กับค่า APE และ อุณหภูมิของแพนเซลล์แสงอาทิตย์ โดยค่า PR มีค่าลดลงเมื่ออุณหภูมิของแพนเซลล์แสงอาทิตย์มีค่าเพิ่มขึ้น ซึ่งสามารถอธิบายได้ว่าผลของอุณหภูมิแพนเซลล์นั้นมีผลต่อค่า Voc ส่วนภาพที่ 18 แสดงกราฟคอนทัวร์ของเซลล์แสงอาทิตย์ชนิด thin film a-Si ในรูปแบบความสัมพันธ์ระหว่างค่า PR กับค่า APE และ อุณหภูมิของแพนเซลล์แสงอาทิตย์ โดยค่า PR มีค่าเพิ่มขึ้นเมื่อค่า APE เพิ่มขึ้นโดยการสังเกตจากภาพในแนวแกนตั้ง ซึ่งสามารถอธิบายได้จากการตอบสนองต่อสเปกตรัมของเซลล์แสงอาทิตย์ชนิด thin film a-Si มีค่าสูงในช่วงความยาวคลื่นสั้น



ภาพที่ 17 แผนภูมิคอนทัวร์ของ PR เซลล์แสงอาทิตย์ชนิด sc-Si ในรูปแบบความสัมพันธ์ของ อุณหภูมิแพนเซลล์แสงอาทิตย์กับ APE

ที่มา: Nakada (2009)

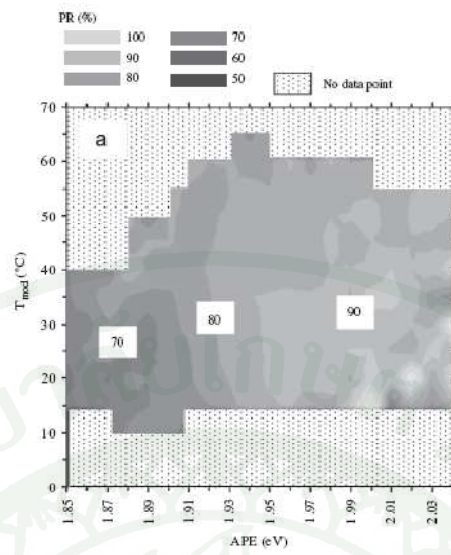


ภาพที่ 18 แผนภูมิคอนทัวร์ของ PR เชลล์แสงอาทิตย์ thin film a-Si ในรูปแบบความสัมพันธ์ของ อุณหภูมิแพงเชลล์แสงอาทิตย์กับ APE

ที่มา: Nakada (2009)

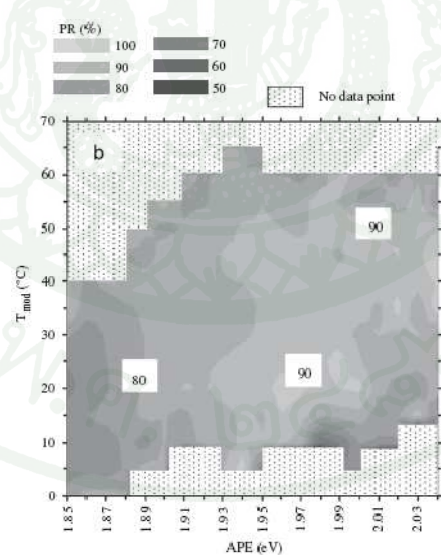
เมื่อทราบว่าค่า APE ส่งผลกระทบกับสมรรถภาพของเชลล์แสงอาทิตย์ชนิด thin film a-Si จึงทำการวิเคราะห์ค่า PR ในช่วงของถูกกาลซึ่งค่าเฉลี่ยของ APE ในแต่ละถูกกาลมีค่าไม่เท่ากัน ภาพที่ 19-20 แสดงกราฟคอนทัวร์ของเชลล์แสงอาทิตย์ชนิด thin film a-Si ในรูปแบบ ความสัมพันธ์ระหว่าง ค่า PR กับ ค่า APE และ อุณหภูมิของแพงเชลล์แสงอาทิตย์ ในช่วงถูกใบไม้ พลิและถูกใบไม้ร่วงตามลำดับ เมื่อพิจารณารูปแบบของทั้ง 2 ถูกกาลพบว่ามีรูปร่างที่คล้ายกัน โดย ภาพที่ 20 ซึ่งเป็นในส่วนของถูกใบไม้ร่วงพบว่าในช่วงค่า PR 80% ครอบคลุมพื้นที่ในช่วงเดียวกัน กับ พื้นที่ที่ภาพที่ 19 มีค่า PR เป็น 70% ในถูกใบไม้พลิ

ภาพที่ 21 แสดงให้เห็นว่าในช่วงที่ค่า APE น้อยกว่า 1.98 eV สมรรถภาพของเชลล์ แสงอาทิตย์ชนิด thin film a-Si ในช่วงถูกใบไม้พลิมีค่ามากกว่าในช่วงถูกใบไม้ร่วง ส่วนช่วงที่ค่า APE มากกว่า 1.98 eV สมรรถภาพในช่วงถูกใบไม้ร่วงสูงกว่าถูกใบไม้พลิ



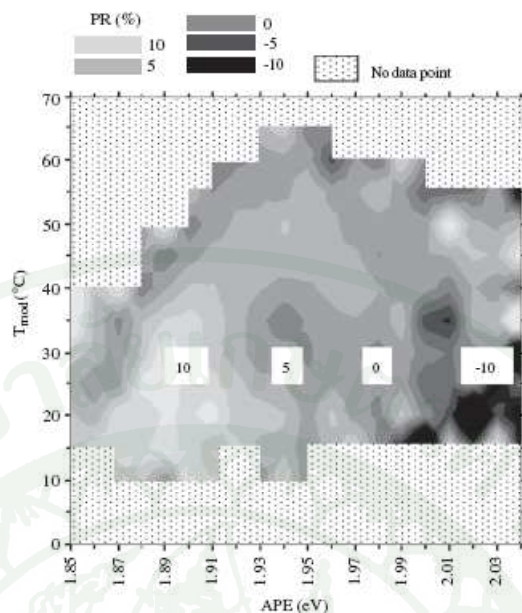
ภาพที่ 19 แผนภูมิคอนทัวร์ความสัมพันธ์ PR กับ APE และอุณหภูมิแพงเซลล์ของเซลล์แสงอาทิตย์ชนิด a-Si ในช่วงๆ ไม่มีผล

ที่มา: Nakada (2009)



ภาพที่ 20 แผนภูมิคอนทัวร์ความสัมพันธ์ PR กับ APE และอุณหภูมิแพงเซลล์ของเซลล์แสงอาทิตย์ชนิดอะมอร์ฟิกซิลิคอน ในช่วงๆ ไม่ร่วง

ที่มา: Nakada (2009)



ภาพที่ 21 แผนภูมิคอนทัวร์ความสัมพันธ์ PR กับ APE และอุณหภูมิแห่งเซลล์ของเซลล์แสงอาทิตย์ ชนิดอะมอร์ฟสีดำ ค่อนข้างเทียบกันระหว่างกวดในไม้ผลและใบไม้ร่วง โดยกวดในไม้ผลเป็นฐาน

ที่มา: Nakada (2009)

อุปกรณ์และวิธีการ

อุปกรณ์

คอมพิวเตอร์ และโปรแกรมออกแบบประมาณผล

วิธีการ

1. แผงเซลล์แสงอาทิตย์และอุปกรณ์การเก็บและรวบรวมข้อมูล

ข้อมูลจากโครงการศึกษามาตรฐานเซลล์แสงอาทิตย์ในเขตกรุงเทพฯ ได้รับการสนับสนุนจากสถาบันวิจัย NEDO ประเทศไทยญี่ปุ่น สถานที่ติดตั้งระบบอยู่ที่บริเวณหน้า NECTEC Pilot Plant อุทยานวิทยาศาสตร์ประเทศไทย อำเภอคลองหลวง จังหวัดปทุมธานี ในช่วงปี 2006 ถึงปลายปี 2007 และได้เคลื่อนย้ายระบบไปยังศูนย์ทดสอบผลิตภัณฑ์ไฟฟ้าและอิเล็กทรอนิกส์ (PTEC) ลาดกระบัง จังหวัดกรุงเทพฯ เพื่อความเหมาะสมตั้งแต่ต้นปี 2008 จนถึงปัจจุบัน

ระบบมีการติดตั้งแผงเซลล์แสงอาทิตย์จำนวน 30 แผง จากบริษัทผู้ผลิต 10 แห่งซึ่งมีเซลล์แสงอาทิตย์ชนิดต่างๆ คือ Heterojunction with Intrinsic Thin layer (HIT) Copper indium selenide (CIS) Poly c-Si และ thin film a-Si แบบ 1 ชั้น 2 ชั้น โดยติดตั้งด้วยมุนเอียง 14 องศาเทียบกับแนวระนาบของพื้นโลก การศึกษาเซลล์แสงอาทิตย์ในส่วนของระบบได้มีการต่อ Load เทียมเพื่อใช้ในการวัดค่าพารามิเตอร์ ใช้อุปกรณ์ IV Curve Tracer ที่ค่าความต้านทานปรับค่าได้

การติดตั้งอุปกรณ์เครื่องมือวัดที่จำเป็นซึ่งประกอบด้วย เครื่องวัดประสิทธิภาพเซลล์ (IV Curve Tracer) เครื่องวัดความเข้มแสง (Pyranometer) เครื่องวัดスペกตรัมแสง (Spectroradiometer) เครื่องวัดความชื้นสัมพัทธ์ เครื่องวัดทิศทางและความเร็วลม และเทอร์โนมัปเปิลที่ใช้สำหรับวัดอุณหภูมิของแผงเซลล์และอุณหภูมิอากาศ จากการวัดค่าตัวยาอุปกรณ์ต่างๆ ข้างต้นทำให้ทราบถึงค่าทางไฟฟ้าของแผงเซลล์แต่ละชิ้นจากเครื่อง IV Curve Tracer ที่จะบ่งบอกถึงคุณสมบัติทางไฟฟ้าของแผงเซลล์ชนิดต่างๆ ภายใต้สภาพแวดล้อมจริงตลอดทั้งวันและต่อเนื่อง ภาพที่ 22 แสดงการติดตั้งแผงเซลล์แสงอาทิตย์และอุปกรณ์การวัด



ภาพที่ 22 แผงเซลล์แสงอาทิตย์และอุปกรณ์ที่ใช้วัดค่าภายในนอกอาคาร

ระบบที่ใช้สำหรับการเก็บข้อมูลจะมีอยู่ด้วยกัน 2 ส่วนหลักคือ บริเวณที่ติดตั้งภายในนอกอาคารและบริเวณที่ติดตั้งภายในอาคาร โดยส่วนที่ติดตั้งภายนอกอาคารจะประกอบด้วยเครื่องมือวัดทางอุตุนิยมวิทยาที่ประกอบด้วยเครื่องวัดความเข้มแสง เครื่องวัดความเร็วและทิศทางลม อุณหภูมิของอากาศ เครื่องวัดความชื้นสัมพัทธ์ รวมไปถึงสายเทอร์โมคัพเปลี่ยนที่ใช้สำหรับวัดอุณหภูมิของแผงเซลล์ โดยติดบริเวณด้านหลังแผงตรงตำแหน่งกลางแผง ตามภาพที่ 23 นอกจากนี้ยังมีในส่วนของเครื่องวัดスペกตรัมแสงหรือ Spectroradiometer ที่ติดตั้งในบริเวณเดียวกับเครื่องมือวัดทั้งหมด



ภาพที่ 23 ตำแหน่งการติดตั้งสายเทอร์โมคัพเปลี่ยนบริเวณด้านหลังแผงเซลล์แสงอาทิตย์

สำหรับส่วนที่ติดตั้งภายในอาคารจะใส่อยู่ในตู้ควบคุม (Controlled Cabinet) ตามภาพที่ 24 ส่วนการโดยคอมพิวเตอร์ มีการเชื่อมต่อกับสายสัญญาณมาจากบริเวณที่ติดตั้งที่บันไดริเวณภายนอกอาคารทึ่งหนดเพื่อสามารถรับและส่งข้อมูลที่ใช้สำหรับควบคุมอุปกรณ์ต่างๆ ให้ทำงานอย่างต่อเนื่อง รวมถึงสามารถบันทึกและเก็บข้อมูลลงภายในคอมพิวเตอร์เพื่อใช้สำหรับนำข้อมูลมาวิเคราะห์ต่อไป



ภาพที่ 24 ตู้ควบคุมภายในประกอบด้วยอุปกรณ์ควบคุมในการวัดและบันทึกผลด้วยคอมพิวเตอร์

การวัดประสิทธิภาพของแพงเซลล์ที่ติดตั้งภายนอกอาคารภายใต้สภาพการทำงานจริงที่จะต้องวัดจากตัวแปรทางด้านอุตุนิยมวิทยาที่เกี่ยวข้องกับการผลิตไฟฟ้าของแพงเซลล์ทึ่งหนด และในการวัดประสิทธิภาพแพงเซลล์ในงานวิจัยนี้ยังได้แบ่งวิธีการวัดและเก็บข้อมูลออกเป็น 3 ส่วน ด้วยกันคือ

1.1 ส่วนการวัดด้านอุตุนิยมวิทยา (Meteorology)

1.1.1 ข้อมูลความเข้มแสง แบ่งเป็นการเก็บ ที่แนวระนาบ (Horizontal irradiance) กับแนวมุมเอียง 14 องศา (Tilted irradiance) ซึ่งเป็นมุมที่เอียงระดับเดียวกับมุมติดตั้งเซลล์แสงอาทิตย์ ความเข้มแสงที่เก็บข้อมูลามีหน่วยเป็น W/m^2 ใช้อุปกรณ์ MS-802-E เป็นตัวเก็บข้อมูล

1.1.2 ข้อมูลลม แบ่งเป็น ความเร็ว (Wind speed) มีหน่วยเป็น m/s และทิศทางลม (Wind Direction) มีหน่วยเป็นองศา เริ่มต้นที่ 0 องศาในทิศเหนือหมุนตามเข็มนาฬิกามีค่าเป็นวง จนครบ 360 องศา เก็บข้อมูลด้วยอุปกรณ์ USA-1 เครื่องวัดความเร็วลมใบพัดอัลตร้าโซนิกสามมิติ ใช้วัสดุเชิงมิคอนดักเตอร์เป็นตัวรับสัญญาณ

1.1.3 ข้อมูลอุณหภูมิที่สภาวะแวดล้อม (Ambient temperature) มีหน่วยเป็นองศาเซลเซียส และข้อมูลความชื้นในบรรยากาศ (Relative Humidity) มีหน่วยเป็น RH โดยใช้อุปกรณ์ MT-062-30

1.2 ส่วนการวัดประสิทธิภาพแผงเซลล์ (IV Curve)

ประกอบด้วยตัวแปรคุณสมบัติทางไฟฟ้าของเซลล์แสงอาทิตย์ คือ Voc Vmp Isc Imp Pm และ FF โดยใช้อุปกรณ์ IV Curve Tracer เป็นโหลดเทียม เพื่อทำการหาคุณลักษณะ IV Curve ของเซลล์แสงอาทิตย์ในช่วงเวลาหนึ่น

1.3 ส่วนการวัดスペกตรัมแสง (Spectrum irradiance)

เป็นการวัดพลังงานスペกตรัมแสง ความยาวคลื่นหนึ่งในช่วงเวลาหนึ่น ทำการวัดข้อมูลด้วยอุปกรณ์ MS 701 ซึ่งเป็นเครื่องวัดรังสีスペกตรัมแสงที่สามารถเห็นด้วยตาเปล่า (Visible light)

2. ลักษณะการเก็บข้อมูลจากเครื่องมือวัด

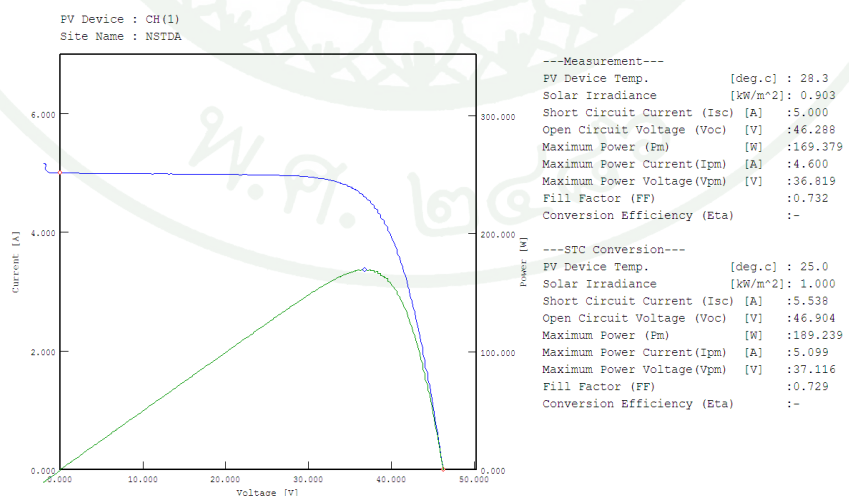
การเก็บข้อมูลจากเครื่องมือวัดทั้ง 3 ส่วนคือ ส่วนการวัดทางอุตุนิยมวิทยา ส่วนการวัด IV Curve และ ส่วนการวัดスペกตรัม ลักษณะของข้อมูลที่เก็บได้สามารถแสดงได้จะเป็นการเก็บข้อมูลโดยใช้คอมพิวเตอร์ทำหน้าที่เป็นตัวควบคุมและบันทึกข้อมูลลงฮาร์ดดิสก์ โดยข้อมูลจากทั้ง 3 ส่วนจะทำการบันทึกแยกกัน ใช้ช่วงเวลาในการบันทึกเป็นตัวเชื่อม โดยข้อมูลเข้าด้วยกันเวลานำผลข้อมูลมาบันทึก รูปแบบของการเก็บข้อมูลจากทั้ง 3 ส่วนมีดังนี้

2.1 การวัดค่าอุตุนิยมวิทยา (Meteorology) จะทำการวัดค่าความเข้มแสงอาทิตย์ อุณหภูมิ อากาศ ความเร็วลม ทิศทางลม ความชื้นสัมพัทธ์ และอุณหภูมิของแพงเซลล์ทั้งหมด 30 แผงที่ใช้ทดสอบ โดยลักษณะการเก็บข้อมูลจะทำการเก็บตลอด 24 ชั่วโมง โดยมีอัตราการเก็บข้อมูลทุกๆ 1 นาที ดังแสดงในภาพที่ 25

Date	Time	Global Irradiance	Tilted Irradiance	Wind Direction	Wind Speed	Temperature	Humidity	Temp CH(01)	Temp CH(02)	Temp CH(03)	Temp CH(04)	Temp
18/5/2007	10:11:00	792.6	725.5	255	.9	32.3	57.1	58.9	59.3	56.2	60.8	
18/5/2007	10:12:00	799.9	732.9	325	.3	32.4	55.8	59	59.3	56.1	60.8	
18/5/2007	10:13:00	795.1	728.3	272.1	.3	32.5	56.9	59.2	59.4	56.3	61.1	
18/5/2007	10:14:00	798.9	731.9	294	1	32.7	56	59.3	59.5	56.4	61.2	
18/5/2007	10:15:00	783.3	717.6	282	1.9	32.8	55.2	58.8	59.3	56.1	60.7	
18/5/2007	10:16:00	799.6	733.3	260	1.1	32.8	55	58.8	59.3	56.2	61	
18/5/2007	10:17:00	811.9	744.6	271	1.4	32.7	53.9	58.5	59	56	60.5	
18/5/2007	10:18:00	813.8	746.7	273	1.8	32.7	55.9	58.5	59	55.9	60.4	
18/5/2007	10:19:00	798.6	733	253	.9	32.7	55.5	58.7	59.1	55.9	60.4	
18/5/2007	10:20:00	794.2	729.3	220	.9	32.8	54.3	58.7	59.4	56.1	60.7	
18/5/2007	10:21:00	800.7	736.3	250	1	33	53.6	58.9	59.8	56.3	60.9	
18/5/2007	10:22:00	821	754	292	1.8	33	54.4	58.6	59.3	56	60.5	
18/5/2007	10:23:00	816.4	750.5	285	1.8	32.9	53.1	58.1	58.7	55.7	60.2	
18/5/2007	10:24:00	837.7	770.5	269	3.1	32.8	53.7	57.8	58.6	55.5	59.9	
18/5/2007	10:25:00	821.5	756.2	291.1	1.8	32.7	53.3	57.3	57.8	55	59.2	
18/5/2007	10:26:00	826.7	760.9	293	1.1	32.4	53.8	57.3	57.8	54.8	58.8	
18/5/2007	10:27:00	827.2	761.7	298	.9	32.4	54.5	57.1	57.5	54.6	58.6	
18/5/2007	10:28:00	828.4	763.1	293	1.8	32.5	54.3	57.1	57.7	54.8	58.6	
18/5/2007	10:29:00	830.9	765.9	312.1	1.1	32.6	54.2	56.9	57.3	54.5	58.4	
18/5/2007	10:30:00	827.2	763.1	270	1.2	32.7	55	57.2	57.7	54.7	58.9	

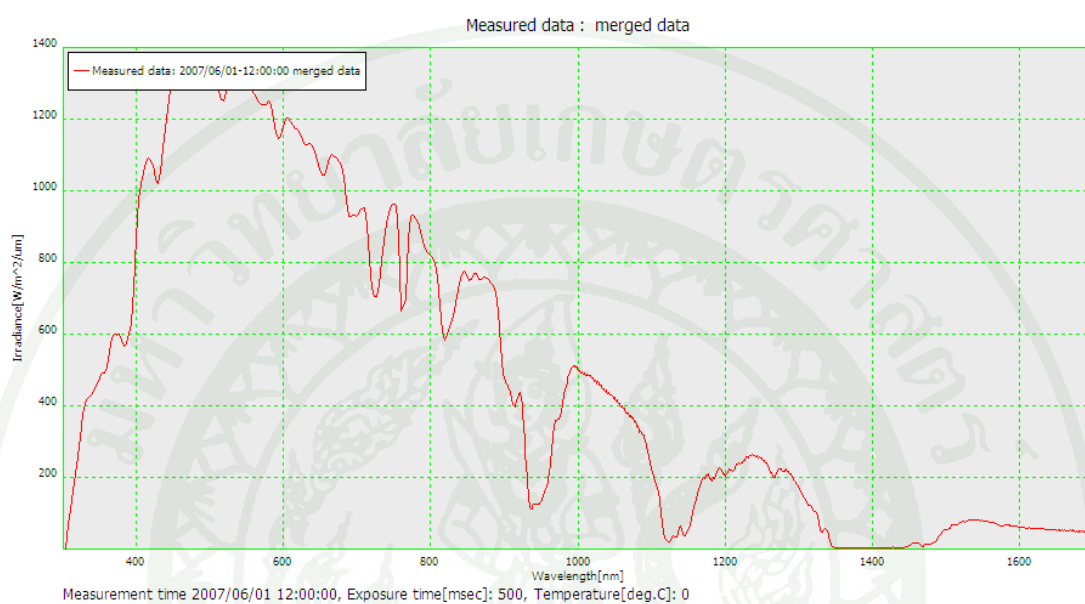
ภาพที่ 25 ตัวอย่างข้อมูลทางอุตุนิยมวิทยา

2.2 การวัดประสิทธิภาพแพงเซลล์ (IV Curve) จะทำการวัดค่าแรงดัน Voc และ Vpm ค่ากระแสไฟฟ้าทั้ง Isc และ Ipm ค่ากำลังไฟฟ้าสูงสุด (Pmax) และค่าฟิลแฟคเตอร์ (FF) โดยลักษณะการเก็บข้อมูลจะทำการเก็บข้อมูลตั้งแต่ช่วง 5:00:00 ถึง 19:30:00 โดยมีอัตราการเก็บข้อมูลทุกๆ 10 นาที ดังแสดงในภาพที่ 26



ภาพที่ 26 ตัวอย่างข้อมูล IV-Curve

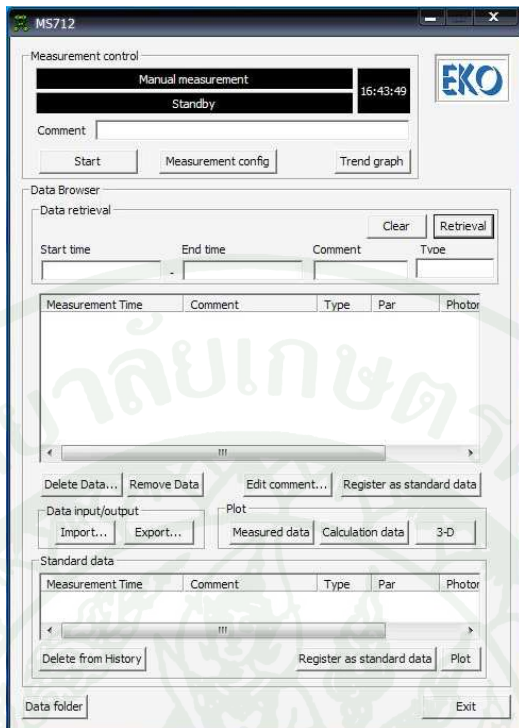
2.3 การวัดสเปกตรัมแสง (Spectrum irradiance) จะทำการวัดค่าสเปกตรัมของแสงอาทิตย์ ตลอดความยาวคลื่นแสงที่ 350 – 1500 nm โดยมีอัตราการเก็บข้อมูลทุกๆ 1 นาที ดังแสดงในภาพที่ 27



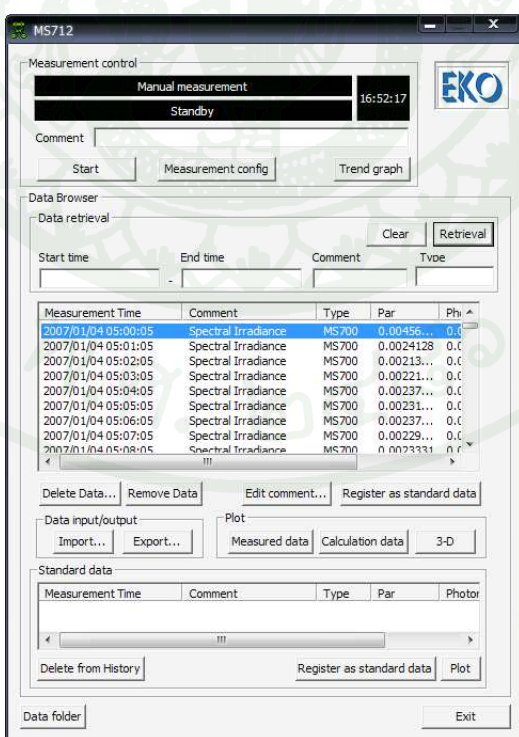
ภาพที่ 27 ตัวอย่างข้อมูลสเปกตรัมแสง

3. การคำนวณค่า APE จากข้อมูลที่เก็บมา

ไฟล์ที่เก็บได้จากเครื่อง Spectroradiometer เป็นไฟล์แบบ binary นามสกุล .rad มีการเก็บข้อมูลแบ่งเป็น 1 ไฟล์ต่อ 1 วัน โดยเริ่มเก็บตั้งแต่เวลา 05:00:00 – 19:30:00 จึงต้องใช้โปรแกรมช่วยในการเปิด ซึ่งใช้โปรแกรม MS-712 พัฒนาโดยบริษัท EKO ประเทศไทย ปัจจุบันโดยมีเมนูการทำงานดังภาพที่ 28 ในการ import ข้อมูลจากไฟล์แบบ binary สามารถเลือกใช้เมนู import โปรแกรมสามารถ import ข้อมูลหลายไฟล์พร้อมกัน ดังภาพที่ 29



ภาพที่ 28 เมนูการทำงานของโปรแกรม MS-712



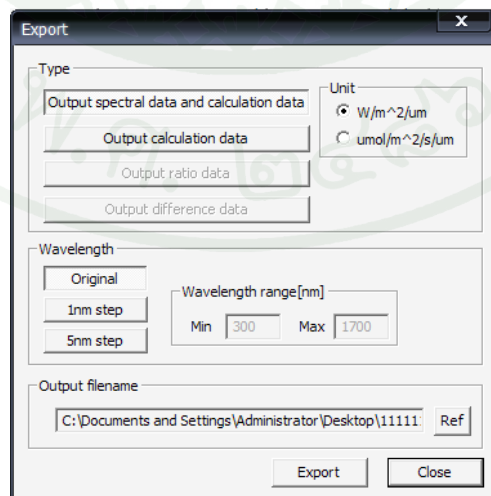
ภาพที่ 29 รายการที่โปรแกรมได้ทำการ import เข้ามาของโปรแกรม MS-712

การแสดงผลข้อมูลในรูปกราฟ 3 มิติ สามารถทำโดยเลือกการแสดงผลแบบ 3D โปรแกรม จะทำการแสดงกราฟของสเปกตรัมแสงของการนั้น โดยสามารถเลือกพร้อมกันได้หลายรายการ ดังแสดงในภาพที่ 30



ภาพที่ 30 กราฟจากฟังก์ชัน 3D ของโปรแกรม MS-712

ทั้งนี้ในงานวิจัยต้องการ export ไฟล์ออกมารูปไฟล์ excel เพื่อนำมาคำนวณหาค่า APE มีขั้นตอนคือ เลือกรายการที่ต้องการ export โดยสามารถเลือกได้พร้อมกันหลายรายการ แต่ไม่เกินตามจำนวนคอลัมน์ที่มากที่สุดของโปรแกรม excel จากนั้นให้เลือกฟังก์ชัน export โดยจะมีรายการ เมนูแสดงดังภาพที่ 31



ภาพที่ 31 เมนูฟังก์ชัน export ของโปรแกรม MS-712

ที่ เมนูสามารถตั้งค่าโดยมีการเลือกหน่วยได้โดยเลือกที่ W/m²/um ในส่วนของ Wavelength ให้เลือกการแสดงผลของความยาวคลื่นแบบ Original ซึ่งจะแสดงความยาวคลื่นที่เก็บได้จริง ถ้าเลือก 1nm step หรือ 5 nm step โปรแกรมจะ export ไฟล์ออกมาเป็นช่วงความยาวคลื่นเป็นช่วง ละ 1 nm และ 5 nm ตามลำดับ ในส่วนของ Output filename เป็นการเซฟไฟล์ไว้ในเครื่องคอมพิวเตอร์ในตำแหน่งที่ระบุ เมื่อตั้งค่าทั้งหมดแล้วจึงกด export

เมื่อ export ไฟล์ออกมานแล้วจะได้ไฟล์นามสกุล .csv ทำการเปิดไฟล์ด้วยโปรแกรม excel แสดงดังภาพที่ 32 ซึ่งจะมีข้อมูลในส่วนของ วันที่ เวลา ความยาวคลื่นที่สัมพันธ์กับความเข้มแสง

	A	B	C
1	DATE	4/1/2007	
2	TIME	10:13:01	
3	Exposed Time[msec]	50	
4	MEMO	Spectral Irradiance	
5	PAR[W/m^2]	272.843	
6	Ptn[mol/m^2]	1258.2	
7	Lux[lm]	70645.1	
8	CSV Configuration	Original	
9	Wavelength[nm]	Irradiance[W/m^2/um]	
10	303.692	0.00E+00	
11	306.99	3.66E+01	
12	310.29	6.03E+01	
13	313.59	8.91E+01	
14	316.891	1.15E+02	
15	320.193	1.45E+02	
16	323.496	1.80E+02	
17	326.799	2.14E+02	
18	330.104	2.37E+02	
19	333.409	2.45E+02	
20	336.715	2.52E+02	
21	340.022	2.58E+02	
22	343.33	2.68E+02	
23	346.638	2.77E+02	
24	349.947	2.90E+02	
25	353.257	3.00E+02	
26	356.568	3.00E+02	

ภาพที่ 32 ข้อมูลที่ได้ทำการ export จากโปรแกรม MS-712

เมื่อข้อมูลมีมากจึงต้องทำการ transpose ข้อมูลให้อยู่ในแนวนอนแทนเพื่อจัดการจัดเก็บโดยได้ทำการตัดข้อมูลในส่วนที่ไม่ต้องการใช้ออกไปด้วยให้เหลือเพียง วันที่ เวลาและความยาวคลื่นที่สัมพันธ์กับความเข้มแสง ข้อมูลที่แสดงดังภาพที่ 33 ซึ่งเป็นการ transpose ข้อมูลจำนวนมากทั้งนี้ยังทำการกรองข้อมูลให้เหลือเพียงช่วงเวลา 9:00:00 – 16:00:00 ซึ่งเป็นช่วงที่มีความเข้มแสง

เนลี่ยมากกว่า 400 W/m^2 และเลือกความยาวคลื่นที่ใช้ในช่วง $350 - 1050 \text{ nm}$ ตามผลงานวิจัยอื่นซึ่งทำการเลือกค่านี้เป็นมาตรฐานในการคำนวณ

		ความยาวคลื่น	ความเข้มแสง							
	B7826	fx 15:43:00								
1	DATE	TIME	352.2	355.6	358.9	362.2	365.6	368.9	372.3	37
2	1/11/2006	9:00:00	207.000	211.000	189.000	212.000	245.000	251.000	256.000	27
3	1/11/2006	9:01:00	242.000	248.000	222.000	249.000	289.000	296.000	302.000	32
4	1/11/2006	9:02:00	242.000	248.000	221.000	249.000	290.000	296.000	301.000	32
5	1/11/2006	9:03:00	242.000	248.000	221.000	249.000	289.000	296.000	301.000	32
6	1/11/2006	9:04:00	244.000	250.000	223.000	251.000	292.000	299.000	304.000	32
7	1/11/2006	9:05:00	245.000	250.000	223.000	251.000	292.000	299.000	304.000	32
8	1/11/2006	9:06:00	247.000	252.000	225.000	254.000	295.000	302.000	307.000	32
9	1/11/2006	9:07:00	249.000	254.000	227.000	255.000	296.000	303.000	308.000	32
10	1/11/2006	9:08:00	251.000	257.000	229.000	258.000	299.000	306.000	311.000	33
11	1/11/2006	9:09:00	253.000	258.000	231.000	259.000	302.000	308.000	313.000	33
12	1/11/2006	9:10:00	256.000	261.000	233.000	262.000	305.000	312.000	317.000	33
13	1/11/2006	9:11:00	257.000	263.000	235.000	264.000	307.000	313.000	319.000	34
14	1/11/2006	9:12:00	226.000	232.000	207.000	232.000	268.000	275.000	280.000	29
15	1/11/2006	9:13:00	265.000	271.000	243.000	273.000	317.000	324.000	329.000	35
16	1/11/2006	9:14:00	230.000	236.000	210.000	235.000	273.000	279.000	284.000	30
17	1/11/2006	9:15:00	268.000	274.000	244.000	274.000	319.000	326.000	332.000	35
18	1/11/2006	9:16:00	235.000	240.000	215.000	241.000	278.000	284.000	290.000	30
19	1/11/2006	9:17:00	272.000	278.000	249.000	280.000	325.000	332.000	338.000	36
20	1/11/2006	9:18:00	236.000	241.000	215.000	242.000	280.000	286.000	291.000	31
21	1/11/2006	9:19:00	275.000	281.000	251.000	282.000	327.000	335.000	340.000	36
22	1/11/2006	9:20:00	272.000	278.000	248.000	279.000	324.000	331.000	337.000	36
23	1/11/2006	9:21:00	239.000	245.000	219.000	245.000	284.000	290.000	295.000	31
24	1/11/2006	9:22:00	281.000	287.000	257.000	289.000	335.000	342.000	348.000	37
25	1/11/2006	9:23:00	281.000	286.000	256.000	287.000	334.000	342.000	347.000	37
26	1/11/2006	9:24:00	247.000	253.000	226.000	253.000	293.000	299.000	305.000	32
27	1/11/2006	9:25:00	288.000	295.000	263.000	295.000	343.000	351.000	356.000	38
28	1/11/2006	9:26:00	287.000	294.000	262.000	295.000	343.000	350.000	356.000	37
29	1/11/2006	9:27:00	259.000	265.000	236.000	265.000	307.000	314.000	320.000	34
30	1/11/2006	9:28:00	293.000	299.000	267.000	300.000	349.000	357.000	363.000	38
31	1/11/2006	9:29:00	260.000	266.000	238.000	267.000	308.000	315.000	321.000	34
32	1/11/2006	9:30:00	293.000	299.000	267.000	301.000	349.000	357.000	363.000	38
33	1/11/2006	9:31:00	264.000	270.000	241.000	270.000	313.000	320.000	326.000	34
34	1/11/2006	9:32:00	299.000	306.000	273.000	307.000	357.000	365.000	371.000	39
35	1/11/2006	9:33:00	265.000	271.000	242.000	272.000	315.000	321.000	327.000	34

ภาพที่ 33 ผลการ transpose ข้อมูล

คำนวณหาค่า APE เริ่มจากการหาค่าความยาวคลื่นเฉลี่ยถ่วงนำหนักโดยใช้สมการที่ (8) ทั้งนี้เมื่อวิเคราะห์ถึงตัวสมการแล้วจะเห็นได้ว่าเป็นการหาจุด centroid ของพื้นที่ทั้งหมดตามทฤษฎีทางคณิตศาสตร์

$$\bar{x} = \frac{\text{total moments}}{\text{total area}} = \frac{\int_a^b x(y_2 - y_1)dx}{\int_a^b (y_2 - y_1)dx} \quad (10)$$

จากสมการทางคณิตศาสตร์เบริญเมมีอน X คือ ความยาวคลื่นและ Y คือ ความเข้มแสง ตัวแปร a และ b คือ ความยาวคลื่น 350 และ 1050 nm ตามลำดับ การคำนวณในส่วนของ total area ใช้หลักการหาพื้นที่สี่เหลี่ยมคงที่ซึ่งมีสมการเป็น

$$\left(\frac{1}{2} \times \text{ผลบวกด้านคู่ขนาน} \times \text{ความสูง} \right) \quad (11)$$

นำพื้นที่รวมกันจึงได้พื้นที่ทั้งหมดของกราฟ และในส่วน total moments เป็นการหาค่าเฉลี่ยของ X ในแต่ละพื้นที่คูณด้วยพื้นที่ในส่วนนั้นเพื่อถ่วงน้ำหนัก

$$\bar{X}_{\text{ช่วงที่ต้องการหา}} \times \text{พื้นที่ในส่วนนั้น} \quad (12)$$

ตัวอย่างการคำนวณ moment ในช่วงความยาวคลื่นที่ 352.2 และ 355.6 nm โดยมีความเข้มแสงที่สัมพันธ์เป็น 235.0 และ 240.0 W/m² ตามลำดับ

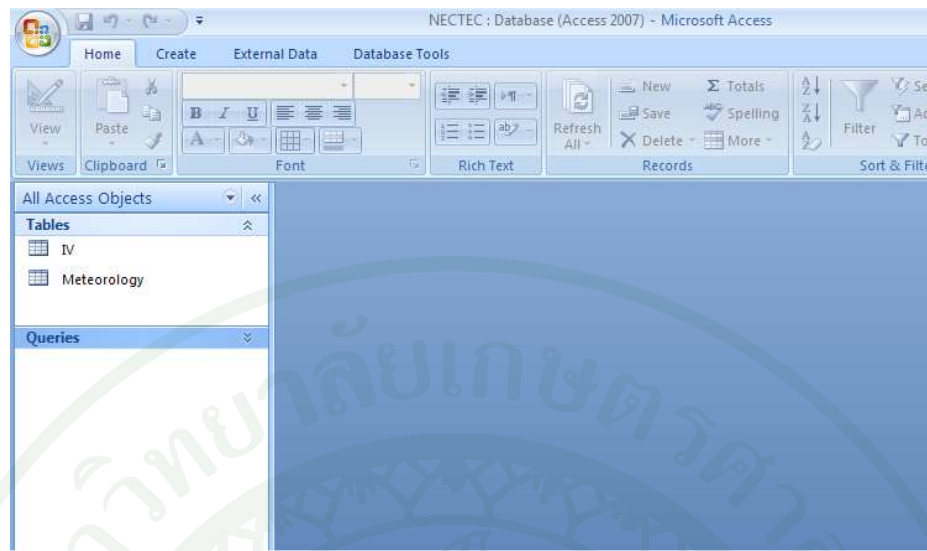
$$\left(\frac{355.6 + 352.2}{2} \right) \times \left(\frac{1}{2} \times (235 + 240) \times (355.6 - 352.2) \right)$$

$$\text{Moment} = 1372.5$$

ทำการรวม moment ทั้งหมดจึงได้ total moments จากนั้นนำ total moments หารด้วย total area จะได้ค่าความยาวคลื่นเฉลี่ยถ่วงน้ำหนัก (λ_{WA}) ของช่วงเวลาที่เก็บข้อมูล เมื่อได้ค่าความยาวคลื่นเฉลี่ยถ่วงน้ำหนักแล้วจึงนำมาคำนวณค่า APE ได้ตามสมการที่ (7) ซึ่งมีหน่วยเป็น eV

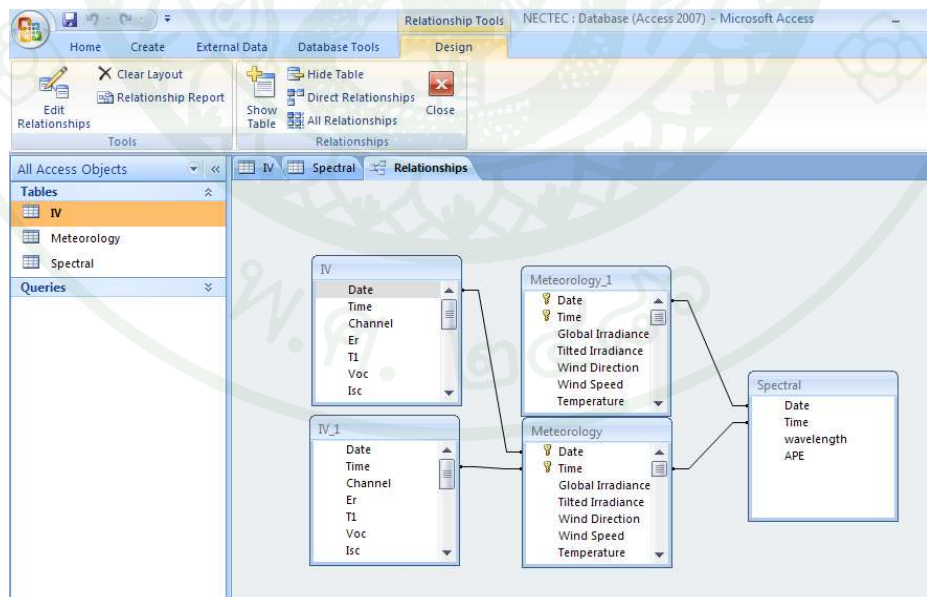
4. การทำฐานข้อมูลและกำหนดความสัมพันธ์ในข้อมูลแต่ละส่วน

ข้อมูลที่ได้รับจากสถาบัน SOLARTEC อยู่ในรูปแบบฐานข้อมูลของโปรแกรม access โดยมีข้อมูลเพียง 2 ส่วนคือ ข้อมูลทางอุตุนิยมวิทยา (Meteorology) และข้อมูล IV อยู่ในส่วนของ table ฐานข้อมูล ดังแสดงในภาพที่ 34



ภาพที่ 34 ข้อมูลจากสถานี SOLARTEC ฐานข้อมูล 2 ส่วนคือ อุตุนิยมวิทยาและข้อมูล IV

ทำการ import ข้อมูลในส่วนของ APE เพิ่มเข้าไปเป็นอีกเป็นอีกหนึ่ง table จากนั้นจึงสร้าง relation เพื่อเชื่อมความสัมพันธ์ในแต่ละ table โดยใช้คุณลักษณะในเรื่องของเวลา จะปรากฏดังภาพที่ 35



ภาพที่ 35 การสร้าง relation ในแต่ละ table โดยการเชื่อมในส่วนของวันที่และเวลา

5. การกรองข้อมูลก่อนทำการวิเคราะห์และการคำนวณ

การกรองข้อมูลโดยโปรแกรม access นั้น ได้ใช้งานเมนู Query ในการวิจัยเลือกใช้แฟลชล็อก แสงอาทิตย์ channel 2 และ channel 9 ซึ่งเป็นเซลล์แสงอาทิตย์ชนิด poly c-Si และ thin film a-Si ตามลำดับ ข้อมูลที่ใช้อยู่ในช่วง มกราคม พ.ศ. 2549 ถึง ตุลาคม พ.ศ. 2551 ข้อมูลรวมทั้งหมดมากกว่า 2 ล้านข้อมูล ไม่รวมข้อมูลที่มีความเข้มแสงน้อยกว่า 400 W/m^2 เมื่อกำหนดเงื่อนไข ดังกล่าวแล้วจึงทำการตั้งค่าในกระบวนการ Query เพื่อกรองข้อมูลที่ต้องการดังภาพที่ 36 เป็นการกรองข้อมูลเฉพาะ channel 2 ทั้งนี้ยังมีการคำนวณ Performance ratio เพิ่มเข้าไปอีกด้วย



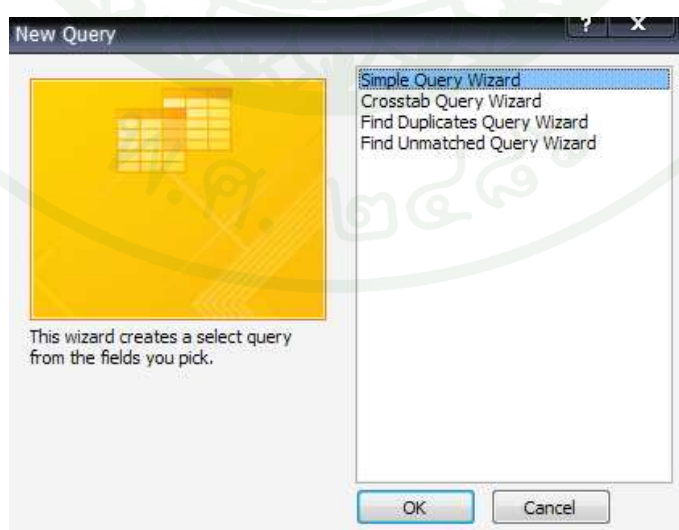
ภาพที่ 36 การสร้างเงื่อนไข Query เพื่อกรองข้อมูลจาก channel 2 (poly c-Si)

คุณลักษณะที่งานวิจัยต้องการใช้คือ วันที่ เวลา APE อุณหภูมิของแฟลชล็อก แสงอาทิตย์และ PR หลังจากการกรองข้อมูล จะได้ข้อมูลอยู่ในรูปทุก 10 นาที ตามข้อมูลของ คอลัมน์ IV ซึ่งใช้นามาวิเคราะห์หาความสัมพันธ์ระหว่าง PR และ APE ดังภาพที่ 37

Date	Time	Tilted Irradiation	Temp CH(0)	APE	PR
4/1/2006	12:20:00	886.1	53.5	1.88	93.0348479227405
4/1/2006	9:00:00	460	46.6	1.89	94.4089405778525
4/1/2006	15:00:00	477.7	55.3	1.90	90.8035543661132
4/1/2006	14:50:00	760.1	55.8	1.87	92.0860137090485
4/1/2006	14:40:00	669.2	49.6	1.87	94.1654753623461
4/1/2006	14:00:00	647.4	49.5	1.86	96.2329922881759
4/1/2006	13:40:00	700.2	51.5	1.85	91.4857131653957
4/1/2006	12:30:00	420.9	49.9	1.94	94.8207790729119
4/1/2006	12:00:00	921.3	62.4	1.90	87.0697243913417
4/1/2006	11:50:00	409.4	49.8	1.92	93.140935057912
4/1/2006	11:40:00	592.7	54.6	1.91	93.4323413412926
4/1/2006	11:30:00	537.2	53.8	1.91	94.2201739725361
4/1/2006	11:20:00	699.8	58.9	1.91	89.7547641306899
4/1/2006	9:40:00	606.3	53	1.90	91.5961284267764
4/1/2006	12:40:00	929	60.7	1.89	86.9493789043228
4/1/2006	9:30:00	574.8	51	1.90	92.4092402889097
4/1/2006	11:10:00	750.8	62.4	1.90	87.5106877237417
4/1/2006	9:50:00	637.7	52.5	1.90	91.1746526817008
4/1/2006	10:00:00	641.8	54.5	1.89	91.2082662125707
4/1/2006	10:10:00	683.1	57.3	1.90	89.314848850643
4/1/2006	10:20:00	705.1	58.2	1.90	89.0248355213138

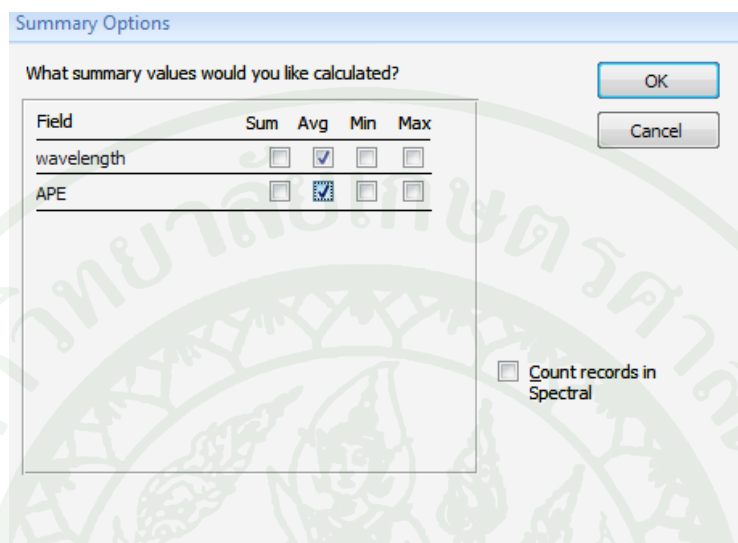
ภาพที่ 37 ตัวอย่างข้อมูลที่ทำการกรองด้วย Query

การวิเคราะห์ข้อมูลในส่วนของスペกตรัมแสง ได้ทำการเฉลี่ยค่า APE เป็นแบบรายวันเพื่อคุ้มครองและลดความผันผวนของスペกตรัมแสง ได้ชัดเจนขึ้น การกรองข้อมูลและการเฉลี่ยข้อมูลใช้ฟังก์ชัน Simple Query Wizard

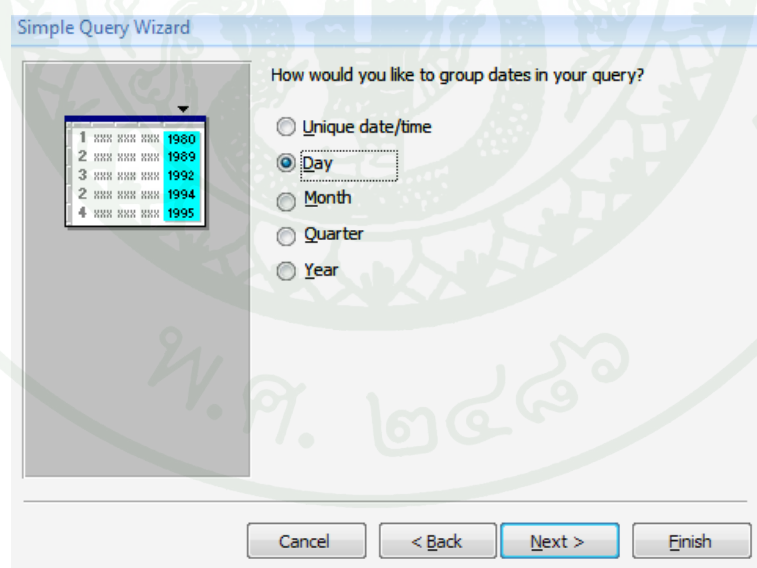


ภาพที่ 38 การกรองและการเฉลี่ยข้อมูลスペกตรัมด้วยฟังก์ชัน Query Wizard

ทำการสร้างเงื่อนไขให้โปรแกรมทำการ summary ข้อมูลของ APE แบบเฉลี่ยรายวันโดยเลือกที่ summary option เลือกแบบ Avg และเลือกรวบรวมข้อมูลแบบรายวันตามภาพที่ 39 และ 40



ภาพที่ 39 การเลือก summary ข้อมูล APE แบบ Avg



ภาพที่ 40 การเลือก summary ข้อมูล APE ให้เป็นแบบรายวัน

เมื่อสร้าง Query สเปกตรัมแสง จึงสามารถนำมารวบรวมค่า APE ในแบบรายวันซึ่งเป็นการเฉลี่ยข้อมูลค่า APE ตลอดทั้งวันให้เหลือเพียง 1 ค่า โดยแสดง Query ของสเปกตรัมตามภาพที่

41

Date	Avg Of APE
4/1/2006	1.90866681787313
5/1/2006	1.87690485203351
6/1/2006	1.9105293696963
7/1/2006	1.90542901978074
8/1/2006	1.9129597645191
9/1/2006	1.90677083954392
10/1/2006	1.89375831990231
12/1/2006	1.88670141170257
13/1/2006	1.8733537177292
14/1/2006	1.87462204992063
15/1/2006	1.88804675337821
16/1/2006	1.88998088559176
18/1/2006	1.8913865126227
19/1/2006	1.89405160958297
20/1/2006	1.88804211242748
23/1/2006	1.87935089102267

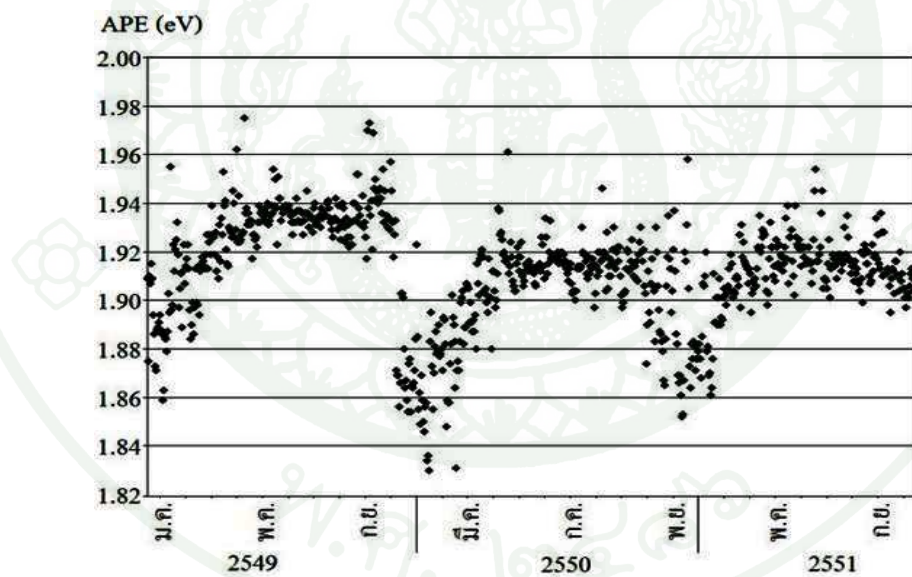
ภาพที่ 41 Query ของสเปกตรัมแสงที่มีค่าเฉลี่ย APE แบบรายวัน

ผลและวิจารณ์

ผล

ในงานวิจัยนี้ได้แบ่งฤดูกาลเพื่อวิเคราะห์ความสัมพันธ์ต่างๆ โดยประเทศไทยแบ่งได้ 3 ฤดูกาล คือ ฤดูร้อนอยู่ช่วงมีนาคม ถึง มิถุนายน ฤดูฝนอยู่ในช่วง กรกฎาคม ถึง ตุลาคม และฤดูหนาวอยู่ในช่วง พฤศจิกายน ถึง กุมภาพันธ์

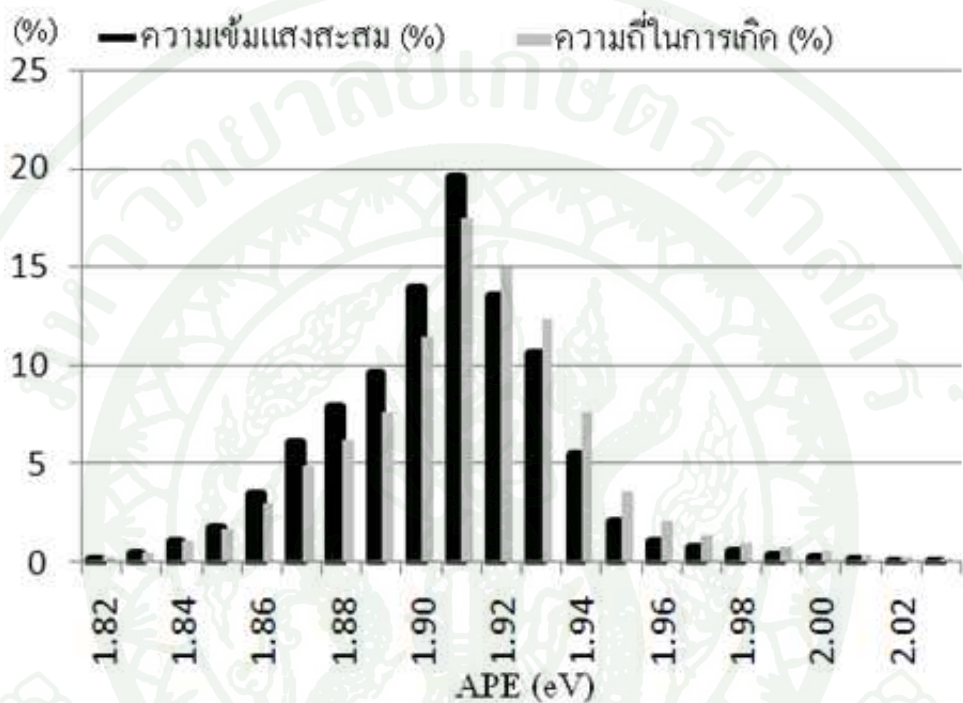
ผลการวิเคราะห์ค่า APE รายวันในช่วงปี พ.ศ. 2549-2551 ของประเทศไทยแสดงดังภาพที่ 42 โดยค่า APE มีค่าสูงอยู่ในช่วงปลายฤดูร้อน (เดือนพฤษภาคม) จนถึงปลายฤดูฝน (เดือนตุลาคม) แล้วลดลงและต่ำสุดในช่วงต้นฤดูหนาว (เดือนพฤษจิกายน) ถึงต้นฤดูร้อน (เดือนมีนาคม) โดยค่า APE ต่ำสุดมีค่าลดลงจากค่า APE สูงสุดคิดเป็น 5%



ภาพที่ 42 ค่า APE รายวันในช่วงปี พ.ศ. 2549-2551

เมื่อนำค่า APE มาเขียนในรูปแบบความสัมพันธ์กับความเข้มแสงสะสมและความถี่ในการเกิดค่า APE ตลอดช่วงที่ทำการวิเคราะห์ปี 2549 – 2551 ช่วงเวลา 9.00 – 16.00 โดยแสดงค่าความเข้มแสงสะสมและความถี่ในการเกิดในแต่ละค่า APE เป็นเปอร์เซ็นต์เทียบกับค่าความเข้มแสงสะสมทั้งหมด ดังแสดงในภาพที่ 43 พบว่าค่า APE ที่มีความเข้มแสงสะสมมากที่สุดคือ 1.91 eV

โดยมีความเข้มแสงสะสมเป็น 19.59% ของความเข้มแสงสะสมทั้งหมด และความถี่ในการเกิดค่า APE มากที่สุดที่ค่า APE เป็น 1.91 eV คิดเป็น 17.51% ของการเกิดค่า APE ทั้งหมด ทำให้ทราบว่า สเปกตรัมแสงของประเทศไทยมีค่า APE ที่ 1.91 eV มากที่สุดและที่ค่า APE 1.91 eV มีความเข้ม แสงสะสมมากที่สุด

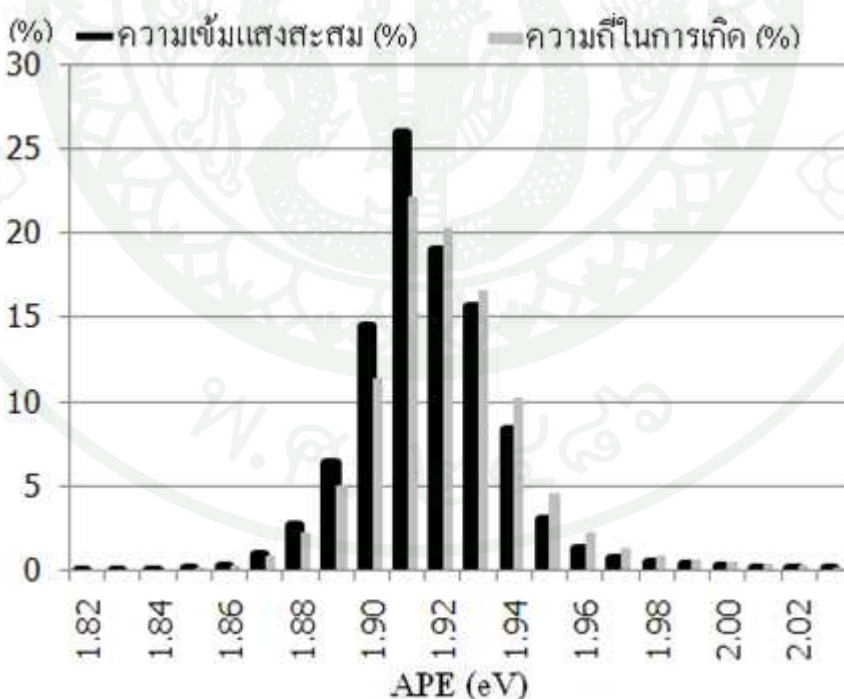


ภาพที่ 43 ความสัมพันธ์ระหว่างความเข้มแสงสะสมและความถี่ในการเกิดกับค่า APE

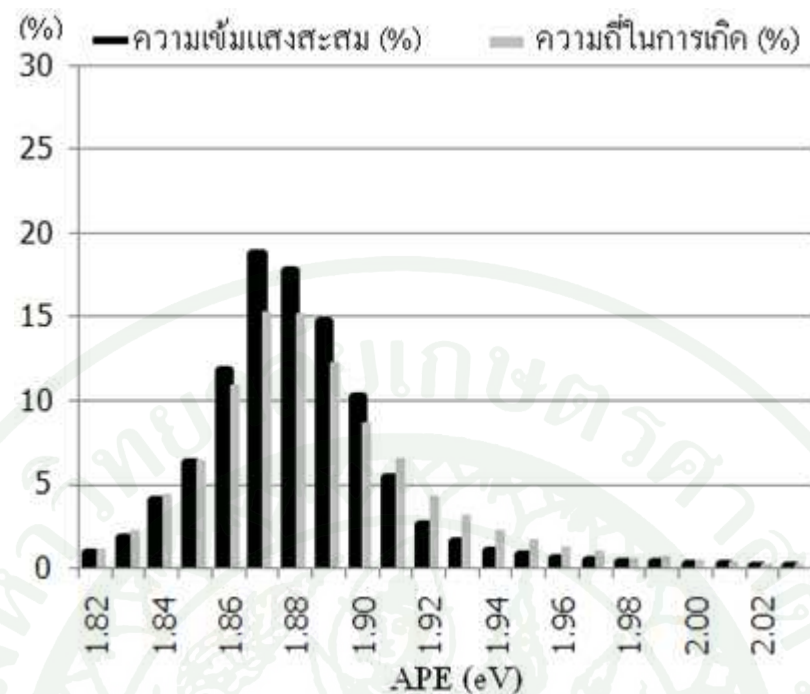
เมื่อวิเคราะห์ค่า APE เป็นคุณภาพ ผลของค่า APE ในแต่ละคุณภาพแสดงในภาพที่ 44 แสดง ความสัมพันธ์ระหว่างความเข้มแสงสะสมและความถี่ในการเกิดกับค่า APE ช่วงๆ กัน ภาพที่ 45 แสดงความสัมพันธ์ระหว่างความเข้มแสงสะสมและความถี่ในการเกิดกับค่า APE ช่วงๆ กัน ภาพที่ 46 แสดงความสัมพันธ์ระหว่างความเข้มแสงสะสมและความถี่ในการเกิดกับค่า APE ช่วงๆ กัน ภาพที่ 47 แสดงความสัมพันธ์ระหว่างความเข้มแสงสะสมและความถี่ในการเกิดกับค่า APE ที่ 1.87 eV ซึ่ง ค่าสุดเมื่อเทียบกับช่วงๆ กันนี้ น่องจากมุมมองของอาทิตย์ที่ส่องแสงทั่วทั้งประเทศไทยที่ แตกต่างกันในแต่ละคุณภาพส่งผลให้ค่า AM เกิดการเปลี่ยนแปลง เกิดสเปกตรัมแสงในลักษณะที่ ต่างกันไป อิกทึ้งในช่วงแต่ละคุณภาพมีความซึ้งในบรรยากาศที่แตกต่างกัน เมื่อแสงส่องผ่านไอน้ำ เหล่านี้ทำให้เกิดการกระเจิงของแสงส่งผลให้สเปกตรัมแสงมีการเปลี่ยนแปลงไป



ภาพที่ 44 ความสัมพันธ์ระหว่างความเบี่ยงเบนมาตรฐานและความถี่ในการเกิดกับค่า APE ช่วงฤดูร้อน



ภาพที่ 45 ความสัมพันธ์ระหว่างความเบี่ยงเบนมาตรฐานและความถี่ในการเกิดกับค่า APE ช่วงฤดูฝน



ภาพที่ 46 ความสัมพันธ์ระหว่างความเข้มแสลงสมและความถี่ในการเกิดกับค่า APE ช่วงฤดูหนาว

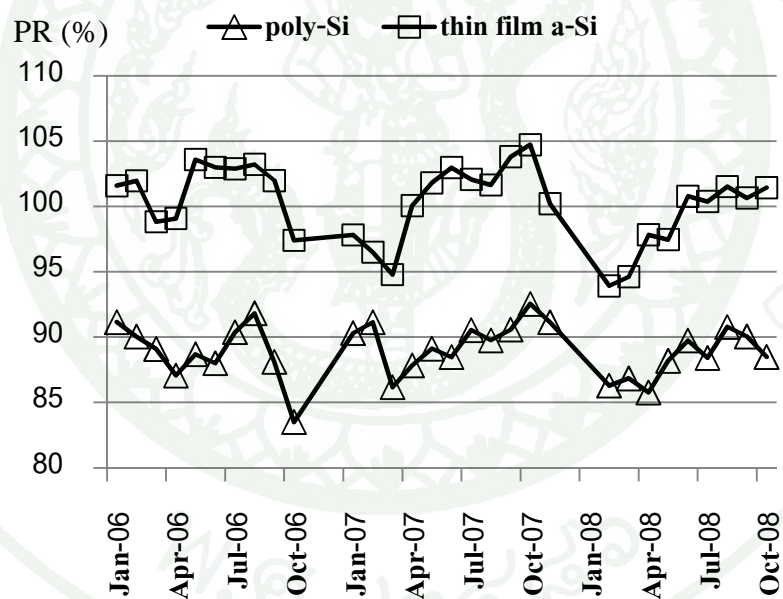
เมื่อเปรียบเทียบทั้ง 3 คุณภาพในส่วนที่มีความเข้มแสลงสมมากที่สุด ได้ผลตามตารางที่ 2

ตารางที่ 2 ค่า APE ที่มีความเข้มแข็งสมดุลและความถี่ในการเกิดมากที่สุดแต่ละฤดูกาลตลอด 3 ปี

မျိုး	APE (eV)
ခြွန်	1.91
ပုံမှန်	1.91
မျက်နှာ	1.87

นอกจากนี้เมื่อวิเคราะห์สมรรถภาพของเซลล์แสงอาทิตย์โดยหาความสัมพันธ์ระหว่างค่า PR และค่า APE ใช้การเปรียบเทียบเมื่อทำการวิเคราะห์ค่า PR ของเซลล์แสงอาทิตย์ 2 แบบคือ thin film a-Si จาก Channel 9 ซึ่งเป็นเซลล์แสงอาทิตย์แบบ double junction มีค่ากำลังสูงสุดที่ STC (Pstc) 60 W และ poly crystalline silicon (poly c-Si) จาก Channel 2 มีค่ากำลังสูงสุดที่ STC (Pm,stc) 120 W

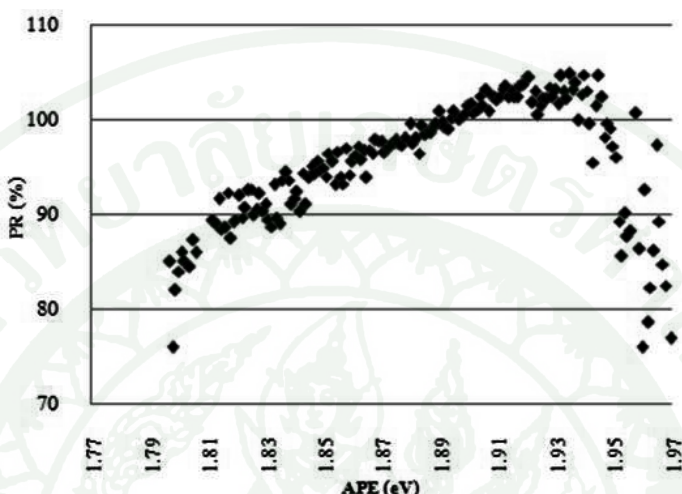
เมื่อวิเคราะห์ตลอดช่วง 3 ปี โดยทำการเฉลี่ยค่า PR ให้อยู่ในรูปแบบรายเดือนได้ผลดังภาพที่ 47 จะเห็นได้ว่าค่า PR ของเซลล์แสงอาทิตย์แบบ thin film a-Si ได้รับผลกระทบจากการเปลี่ยนแปลงแต่ละฤดูกาลซึ่งมีค่าต่างในช่วงฤดูหนาวโดยมีค่าลดลงจาก PR สูงสุด 10% มีค่าเฉลี่ย PR เป็น $100\% \pm 5$ และค่า PR ที่มีค่าเกิน 100% ในบางช่วงเวลาอธิบายได้ว่า เซลล์แสงอาทิตย์ชนิด thin film a-Si ตอบสนองต่อความเยาวคืนของสภาพแวดล้อมในช่วงสีน้ำเงินอย่างมาก ถ้าสภาพแวดล้อมมีองค์ประกอบสีน้ำเงินมากจะส่งผลให้สมรรถภาพของเซลล์แสงอาทิตย์สูงตามไปด้วย เมื่อเปรียบเทียบกับค่า APE คือเมื่อค่า APE สูง แสดงว่าสภาพแวดล้อมมีองค์ประกอบสีแดงอยู่มาก และถ้าค่า APE ต่ำ แสดงว่าสภาพแวดล้อมมีองค์ประกอบสีแดงอยู่น้อย และเนื่องจากค่า APE ในประเทศไทยมีค่ามากกว่าค่า APE มาตรฐาน STC (1.88 eV) แสดงว่าประเทศไทยมีองค์ประกอบของแสงสีน้ำเงินสูงกว่า สเปกตรัมมาตรฐาน ส่วนเซลล์แสงอาทิตย์แบบ poly c-Si ได้รับผลกระทบจากการเปลี่ยนแปลงฤดูกาลเล็กน้อยโดยมีค่า PR เฉลี่ยคือ $88\% \pm 2.5$



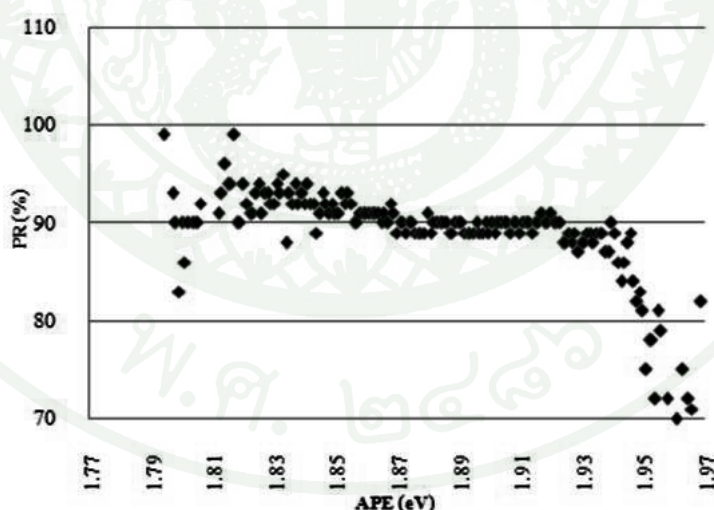
ภาพที่ 47 การเปลี่ยนแปลงค่า PR ของเซลล์แสงอาทิตย์ชนิด thin film a-Si และ poly c-Si ในแต่ละเดือน

เมื่อนำเซลล์แสงอาทิตย์ทั้ง 2 แบบมาวิเคราะห์ผลกระทบจากสภาพแวดล้อมแสงต่อสมรรถภาพดังแสดงในภาพที่ 48 คือเซลล์แสงอาทิตย์ชนิด thin film a-Si และภาพที่ 49 คือเซลล์แสงอาทิตย์ชนิด poly c-Si เห็นได้ว่าผลกระทบจากสภาพแวดล้อมอย่างมากต่อเซลล์แสงอาทิตย์ชนิด thin

film a-Si ส่วนเซลล์แสงอาทิตย์แบบ poly c-Si ได้รับผลกระทบเพียงเล็กน้อย ที่ค่า APE เกลี่ยของประเทศไทย 1.91 eV ค่า PR ของเซลล์แสงอาทิตย์แบบ thin film a-Si มีค่า 102% ในช่วงปี 2549-2551 ส่วนค่า PR ของเซลล์แสงอาทิตย์แบบ poly c-Si มีค่า 88% ในช่วงปี 2549-2551

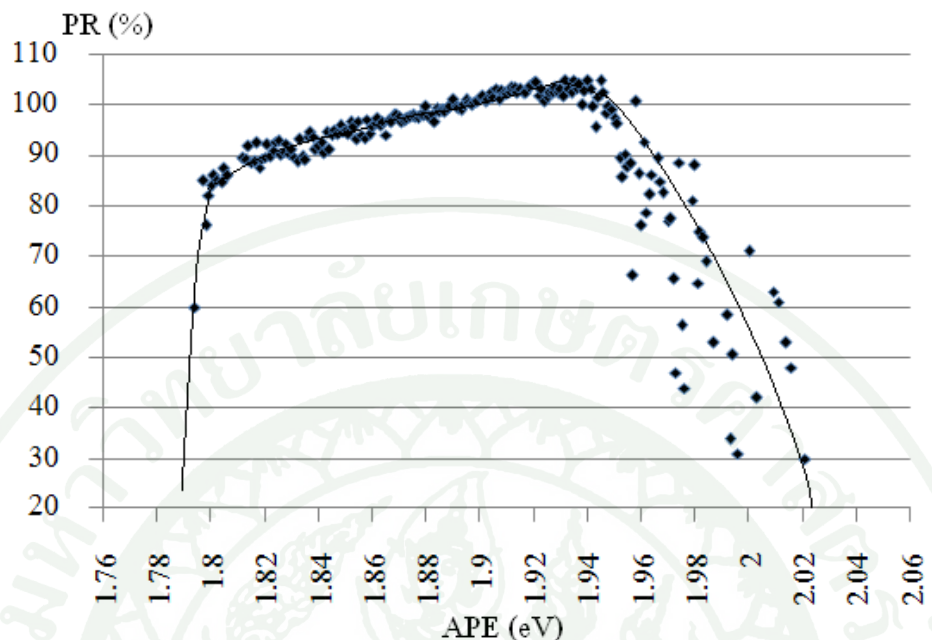


ภาพที่ 48 ความสัมพันธ์ระหว่างค่า APE กับค่า PR ของเซลล์แสงอาทิตย์แบบ thin film a-Si

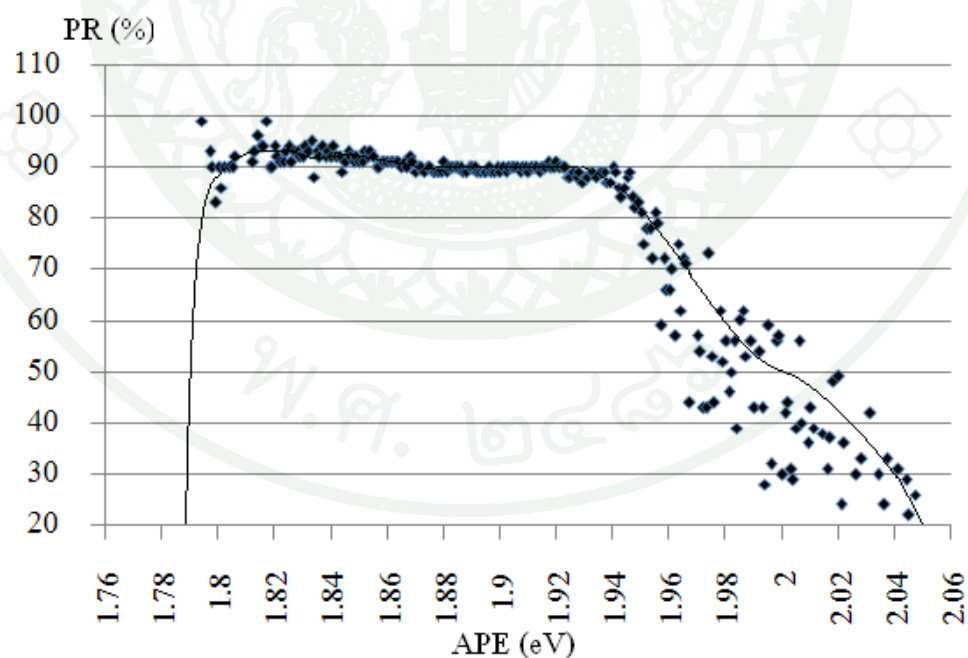


ภาพที่ 49 ความสัมพันธ์ระหว่างค่า APE กับค่า PR ของเซลล์แสงอาทิตย์แบบ poly c-Si

เมื่อสร้างเส้นกราฟจะเห็นว่าช่วงการตอบสนองต่อสเปกตรัมแสงของเซลล์แสงอาทิตย์แบบ thin film a-Si แคบกว่าแบบ poly c-Si โดยมีช่วง APE เป็น 1.79 – 2.01 eV และ 1.79 – 2.05 eV ดังแสดงในภาพที่ 50-51



ภาพที่ 50 ช่วงการตอบสนองต่อสเปกตรัมแสงของเซลล์แสงอาทิตย์แบบ thin film a-Si



ภาพที่ 51 ช่วงการตอบสนองต่อสเปกตรัมแสงของเซลล์แสงอาทิตย์แบบ poly c-Si

วิจารณ์

จากผลการวิจัยพบว่าเมื่อเปรียบเทียบค่า APE ทั้ง 3 ฤดูกาล ค่า APE จะมีค่าสูงในช่วงฤดูร้อนและฤดูฝน ส่วนฤดูหนาวมีค่า APE ต่ำสุดเมื่อเทียบกับในช่วงฤดูกาลอื่นเนื่องจากมุมของดวงอาทิตย์ที่ส่องแสงตกกระทบกับประเทศไทยที่แตกต่างกันในแต่ละฤดูกาลส่งผลให้ระยะเวลาในช่วงกลางวันสั้นกว่าเวลาในช่วงกลางคืน ค่า AM ในแต่ละวันจึงแตกต่างจากฤดูกาลอื่น โดยสเปกตรัมของแสงมีองค์ประกอบของความยาวคลื่นสีน้ำเงินน้อยกว่าฤดูกาลอื่น อีกทั้งในช่วงแต่ละฤดูกาลมีความชื้นในบรรยากาศที่แตกต่างกัน เมื่อแสงส่องผ่านไอน้ำเหล่านี้ทำให้เกิดการระเจิงของแสงส่งผลให้สเปกตรัมแสงมีการเปลี่ยนแปลงไป

การหาความสัมพันธ์ระหว่างค่า APE กับค่า PR ในเซลล์แสงอาทิตย์แบบ thin film a-Si มีค่า PR เพิ่มขึ้นตามค่า APE ที่เพิ่มขึ้น จนถึงค่า APE ที่ 1.94 eV จากนั้นค่า PR จึงลดลงอันเนื่องจากผลของการตอบสนองต่อสเปกตรัมแสงของตัวเซลล์แสงอาทิตย์ ในส่วนของเซลล์แสงอาทิตย์ชนิด poly c-Si ค่า PR มีค่าค่อนข้างที่จะคงที่เมื่อ APE เปลี่ยนแปลงไปซึ่งทำให้ทราบว่าสมรรถภาพของเซลล์แสงอาทิตย์ชนิดพลีกไม่ได้รับผลกระทบจากการเปลี่ยนแปลงของสเปกตรัมแสงมากนัก

สรุปและข้อเสนอแนะ

สรุป

スペクトรัมแสงของประเทศไทยมีความเข้มแสงสะสมที่ค่า APE 1.91 eV มากที่สุด ซึ่งในแต่ละฤดูกาลค่า APE ที่สัมพันธ์กับความเข้มแสงสะสมมากที่สุดคือ ฤดูร้อน 1.91 eV ฤดูฝน 1.91 eV และฤดูหนาว 1.87 eV

ความถ้วนพันธุ์ระหว่าง APE กับสมรรถภาพของเซลล์แสงอาทิตย์ชนิด thin film a-Si มีค่า PR เนลลี่ประมาณ $100\% \pm 5.0\%$ มีค่า PR ต่ำสุดที่ 95% ในช่วงฤดูหนาวและมีค่าสูงสุด 105% ในช่วงฤดูฝน ซึ่งสอดคล้องกับการเปลี่ยนแปลงของスペกตรัมแสง ส่วนค่า PR ของเซลล์แสงอาทิตย์ชนิด poly c-Si มีค่าเนลลี่คงที่ประมาณ $88\% \pm 2.5\%$ สเปกตรัมแสงมีผลกระทบต่อสมรรถภาพเซลล์แสงอาทิตย์แบบ thin film a-Si สูง โดยสมรรถภาพสูงสุดของเซลล์แสงอาทิตย์แบบ thin film a-Si คือที่ค่า APE เป็น 1.94 eV มีค่า PR คือ 105% มีค่า PR ต่ำสุด 85% ที่ APE มีค่าเป็น 1.80 eV และที่ค่า APE มากกว่า 1.94 eV สมรรถภาพของเซลล์แสงอาทิตย์มีค่าลดลงเรื่อยๆจนถึงค่า APE 1.97 eV ส่วนสมรรถภาพของเซลล์แสงอาทิตย์แบบ poly c-Si ได้รับผลกระทบเพียงเล็กน้อยเมื่อค่า APE มีการเปลี่ยนแปลงโดยค่า PR มีการเปลี่ยนแปลงไม่เกิน 5%

การทดสอบสมรรถภาพในห้องทดลองของผู้ผลิตจะใช้สภาวะที่ STC ซึ่งเมื่อคำนวณค่า APE ของスペกตรัมแสงในช่วงความยาวคลื่นที่ 350 – 1050 nm จะมีค่าเป็น 1.88 eV ดังนั้นเมื่อเปรียบเทียบกับประเทศไทยซึ่งมีค่าเนลลี่ APE ที่ 1.91 eV ทำให้สมรรถภาพของเซลล์แสงอาทิตย์แบบ thin film a-Si เมื่อเปรียบเทียบกับห้องทดลองของผู้ผลิตมีค่าเกิน 100% ในการใช้งานเซลล์แสงอาทิตย์ในประเทศไทยเฉลี่ยตลอดทั้งปี ส่วนเซลล์แสงอาทิตย์แบบ poly c-Si นั้นจากการทดสอบจะเห็นได้ว่าสมรรถภาพไม่ได้ขึ้นกับスペกตรัมของแสงแต่ที่สมรรถภาพของเซลล์แสงอาทิตย์นั้นมีค่าต่ำกว่า 100% เป็นเพราะผลกระทบใหญ่คือ อุณหภูมิของแผงเซลล์แสงอาทิตย์โดยที่สภาวะ STC นั้นกำหนดอุณหภูมิของแผงเซลล์แสงอาทิตย์ที่ 25 C° ซึ่งประเทศไทยเป็นประเทศเขตร้อนที่มีอุณหภูมิเฉลี่ยสูงตลอดทั้งปีทำให้ส่งผลกระทบโดยตรงกับสมรรถภาพของเซลล์แสงอาทิตย์

ข้อเสนอแนะ

จากข้อมูลที่ได้ศึกษาระหว่างการดำเนินโครงการวิจัย และจากผลของการดำเนินโครงการทางคณะผู้วิจัยขอเสนอแนะแนวทางอันคาดว่าจะเป็นประโยชน์ในการพัฒนาโครงการวิจัยที่เกี่ยวข้องดังต่อไปนี้

1. การทราบค่า APE ทำให้สามารถเลือกใช้หรือทำการผลิตเซลล์แสงอาทิตย์แบบ thin film a-Si ที่เหมาะสมกับประเทศไทยที่ค่า APE 1.91 eV เพื่อให้ได้สมรรถภาพสูงสุดในการผลิตไฟฟ้า
2. เมื่อวิเคราะห์ค่า APE แต่ละคุณภาพทำให้ทราบสมรรถภาพของเซลล์แสงอาทิตย์และนำไปคำนวณพลังงานbaughโดยเฉลี่ยในแต่ละคุณภาพ ได้แม่นยำมากขึ้นกว่าเดิมที่ใช้แค่ความเข้มแสงและอุณหภูมิ
3. ที่ค่า APE แต่ละค่าจะมีรูปแบบของスペกตรัมแสงเฉพาะตัวที่ต่างกันไป (Minemoto, 2009) เนื่องจากมีการวิจัยที่พบว่าค่า APE สามารถทำให้ทราบถึงรูปแบบของスペกตรัมแสง ภูมิภาคนั้นได้ ซึ่งประเทศไทยยังไม่มีการคำนวณในเรื่องนี้
4. จากการศึกษาทำให้ทราบมีการคำนึงถึงผลของスペกตรัมแสงในการทดสอบในห้องทดสอบของผู้ผลิตเพิ่มเติมเข้าไปมาตรฐานการทดสอบ

เอกสารและสิ่งอ้างอิง

ดุสิต เครื่องงาน. 2542. สิ่งประดิษฐ์ออบโพโตอิเล็กทรอนิกส์ พลิกส์ เทคโนโลยีและการใช้งาน เล่ม 1.

คณะวิศวกรรมศาสตร์ จุฬาฯ

มหาวิทยาลัยเทคโนโลยีพระจอมเกล้าธนบุรี. 2545. ข้อเสนอโครงการระบบผลิตไฟฟ้าด้วยพลังงานทดแทนแบบผสมผสาน สำหรับหมู่บ้านชนบท (กรณี หมู่บ้านเกาะจิก). บางชุน เทียน.

เอกชาติ หัตถा. 2552. โครงการศึกษามาตรฐานเซลล์แสงอาทิตย์ในเขต้อนชื่น ระยะที่ 3. รายงานการวิจัย พัฒนาและวิศวกรรม ฉบับสมบูรณ์. สถาบันพัฒนาเทคโนโลยีพลังงานแสงอาทิตย์ (SOLARTEC) สำนักงานพัฒนาวิทยาศาสตร์และเทคโนโลยีแห่งชาติ

Berlin, B. and P. Kay. 1969. **Basic Color Terms: Their Universality and Evolution**, Berkeley. University of California Press.

Boyle, G. 1998. **Renewable Energy power for sustainable future**. 2nd ed. BPC Wheatons Ltd., United Kingdom.

Field, H. 1997. **Solar Cell Spectral Response Measurement Errors Related to Spectral Band Width and Chopped Light Waveform**. 26th IEEE Photovoltaic Specialists Conference, September 29-October 3, 1997. Task No. PV703401

German Solar Energy Society. 2008. **Planning and Installing Photovoltaic system 2nd Edition**. Eathscan. UK.

Goetzberger, A., J. Knobloch and B. Voss. 1998. **Crystalline Silicon Solar Cells**. John Wiley & Sons Ltd., England

Green, M. 1998. **Solar Cells Operating Principles, Technology and System Applications.** PLT Print Solution, Inc.

International Electronical Commission, Standard IEC 60904-3. (2008). **Photovoltaic devices – Part 3: Measurement principles for terrestrial photovoltaic (PV) solar devices with reference spectral irradiance data.**

Minemoto, T., S. Fukushige and H. Takakura. 2009. **Differnce in the outdoor performance of bulk and thin-film silicon-based photovoltaic modules.** Solar Energy Materials & Solar Cells 93 (2009) 1062-1065.

Minemoto, T., Y. Nakada, H. Takahashi and H. Takakura. 2009. **Uniqueness verification of solar spectrum index of average photon energy for evaluating outdoor performance of photovoltaic modules.** Solar Energy Material & Solar Cells 83 (2009) 1294-1299.

Nakada, Y., S. Fukushige, T. Minemoto and H. Takakura. 2009. **Seasonal variation analysis of the outdoor performance of amorphous Si photovoltaic modules using contour map.** Solar Energy Materials & Solar Cells 93 (2009) 334-337.

Otani, K., Y. Hishikawa, P. Sichamugrist, P. SSupanich and E. Hatthat. 2008. **Energy Rating of Various PV Module Technologies. Based on Outdoor Measurements in Low Latitude Region, Thailand.** Proceeding of RENEWABLE ENERGY2008 International Conference and Exhibition, South Korea (October 13-17, 2008) O-PV-44

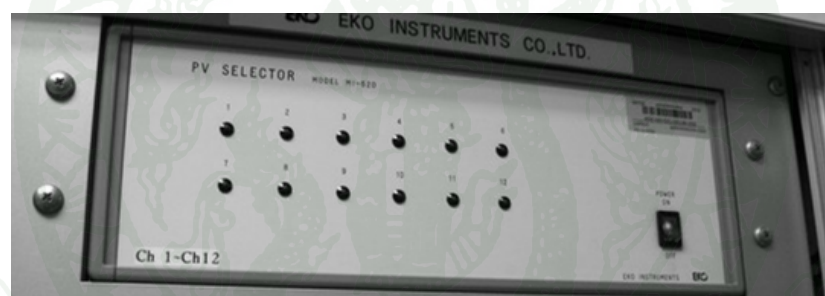
Yates, T. 2003. **Solar Cells in Concentrating Systems and their High Temperature Limitations.** University of California, Santa Cruz.



อุปกรณ์ต่างๆ ที่ใช้วัดประสิทธิภาพแผงเซลล์แสงอาทิตย์



ภาพพนักที่ 1 เครื่อง IV Checker MP-160, an I-V curve tracer to measure PV modules วัดประสิทธิภาพของแผงเซลล์แสงอาทิตย์ใช้ร่วมกับเครื่อง MI-520 เพื่อร่วบรวมค่าจากเครื่อง MI-520



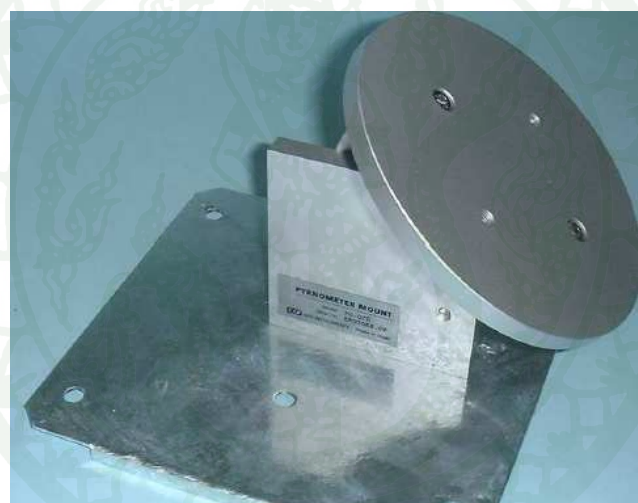
ภาพพนักที่ 2 MI-520, 12ch PV module switcher (3 เครื่อง) ใช้วัดประสิทธิภาพของแผงเซลล์แสงอาทิตย์ใช้ร่วมกับเครื่อง MP-160 เพื่อสำหรับการวัดแผงเซลล์จำนวนมาก



ภาพพนักที่ 3 MS-701, เครื่องวัดการแผ่รังสีของスペกตรัมที่มองเห็นด้วยตาเปล่า



ภาพพนวกที่ 4 MS-802-E, whole sky solar insolation meter ใช้สำหรับวัดความเข้มแสงอาทิตย์



ภาพพนวกที่ 5 PO-070, ฐานสำหรับเครื่องวัดการแพร่รังสี ใช้เป็นฐานขึ้นด้าวหับติดตั้งเครื่องมือวัด
ความเข้มแสงอาทิตย์



ภาพพนวกที่ 6 CADAC21 9201A, data logger ใช้รับสัญญาณจากอุปกรณ์วัดแพงเซลล์แสงอาทิตย์
และแปลงสัญญาณที่ได้โดยทำการบันทึกค่าเก็บไว้



ภาพพนวกที่ 7 CADAC21-20ch adapter ใช้สแกนสัญญาณที่ได้จากเครื่อง Data Logger ซึ่งมีช่องสัญญาณอยู่ 20 ช่อง



ภาพพนวกที่ 8 ตู้เก็บอุปกรณ์ควบคุม

ประวัติการศึกษาและการทำงาน

ชื่อ	นายนิธินันท์ พูลชนะนันท์
เกิดวันที่	10 เมษายน 2526
สถานที่เกิด	เขตบางพลัด จังหวัดกรุงเทพมหานคร
ประวัติการศึกษา	วศ.บ. (ไฟฟ้า) มหาวิทยาลัยเชียงใหม่
ตำแหน่งปัจจุบัน	-
สถานที่ทำงานปัจจุบัน	-
ผลงานเด่นและ/หรือรางวัลทางวิชาการ	ได้รับการตีพิมพ์ผลงานเรื่อง “การศึกษาผลของสเปกตรัมแสงต่อสมรรถภาพของเซลล์แสงอาทิตย์ที่ติดตั้งภายนอกอาคาร” ในงานประชุมวิชาการวิทยาศาสตร์และเทคโนโลยี ครั้งที่ 8, หน้า 42, 19 มีนาคม พ.ศ. 2553 และ “Effect of Spectral Irradiance Distribution on the Outdoor Performance of Photovoltaic Modules” Proceeding of 7 th ECTI-CON 19 – 21 May 2010. P. 71-73.
ทุนการศึกษาที่ได้รับ	ได้รับทุนผู้ช่วยสอนจากบัณฑิตวิทยาลัยมหาวิทยาลัยเกษตรศาสตร์ (พ.ศ. 2552)